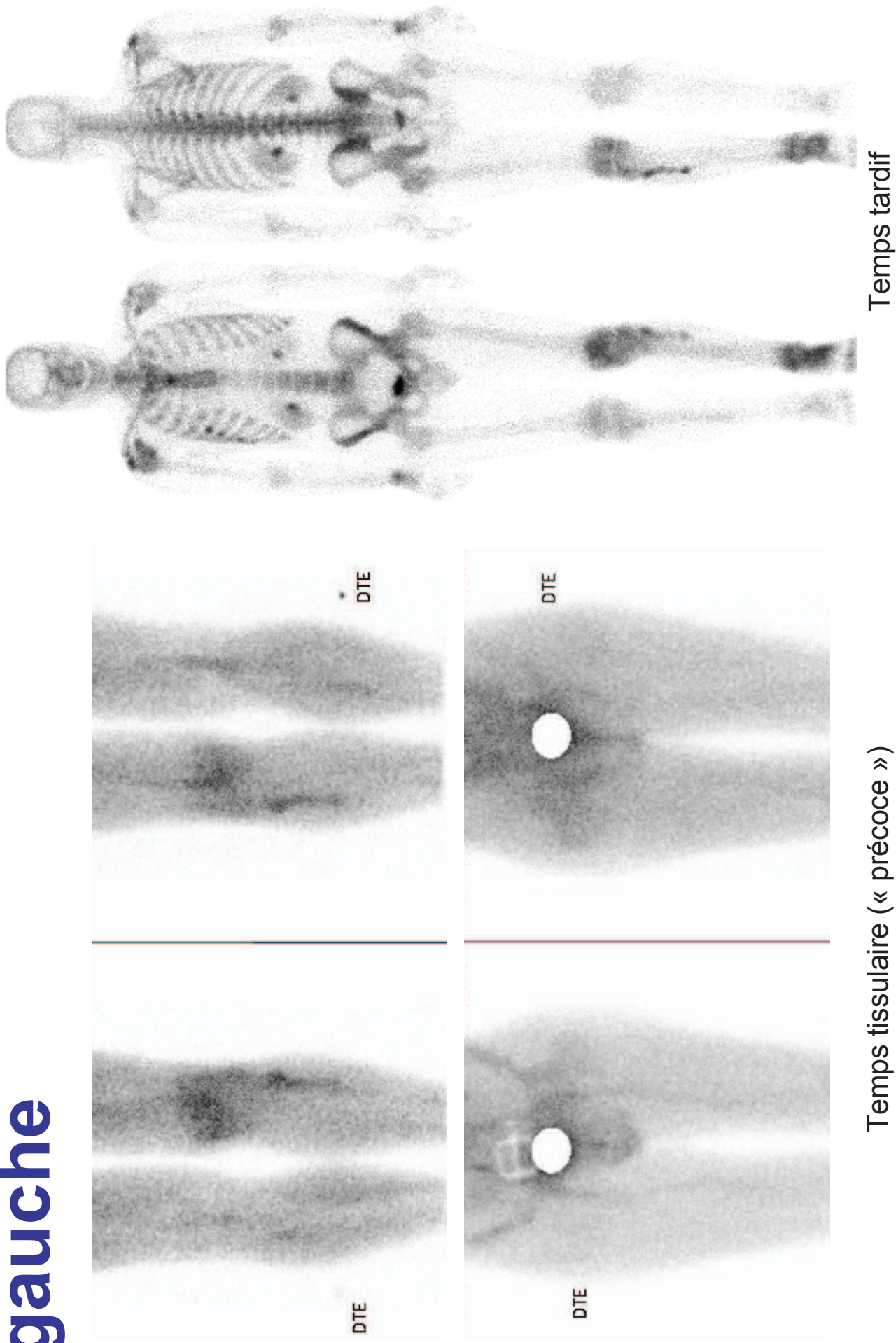


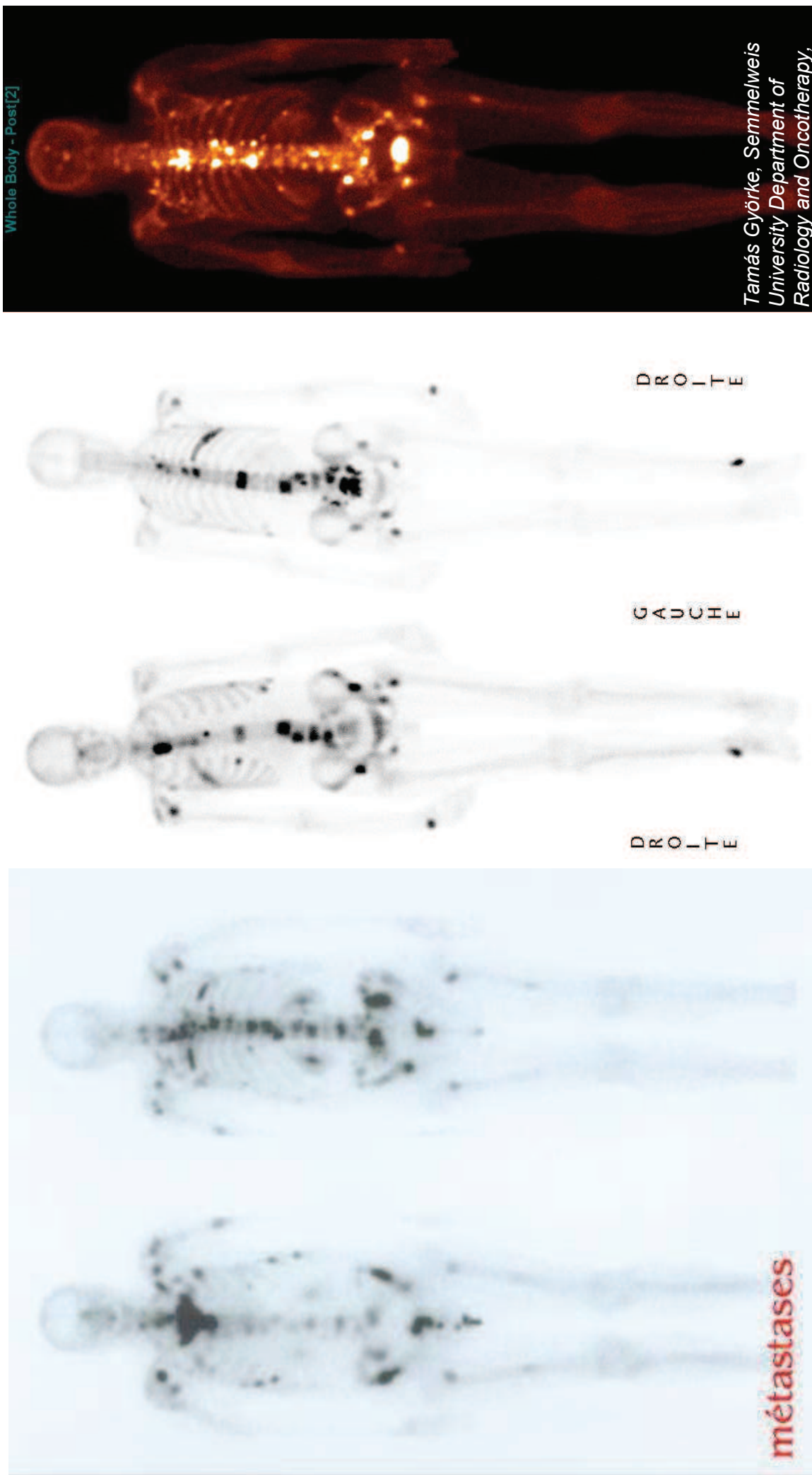
# Application 1 : Algodystrophie du Mb Inf gauche



Temps tissulaire (« précoce »)

Temps tardif

# Application 2 : hyper activité métabolique de certaines métastases



dérivés phosphorés (MDP, PP, BiP)

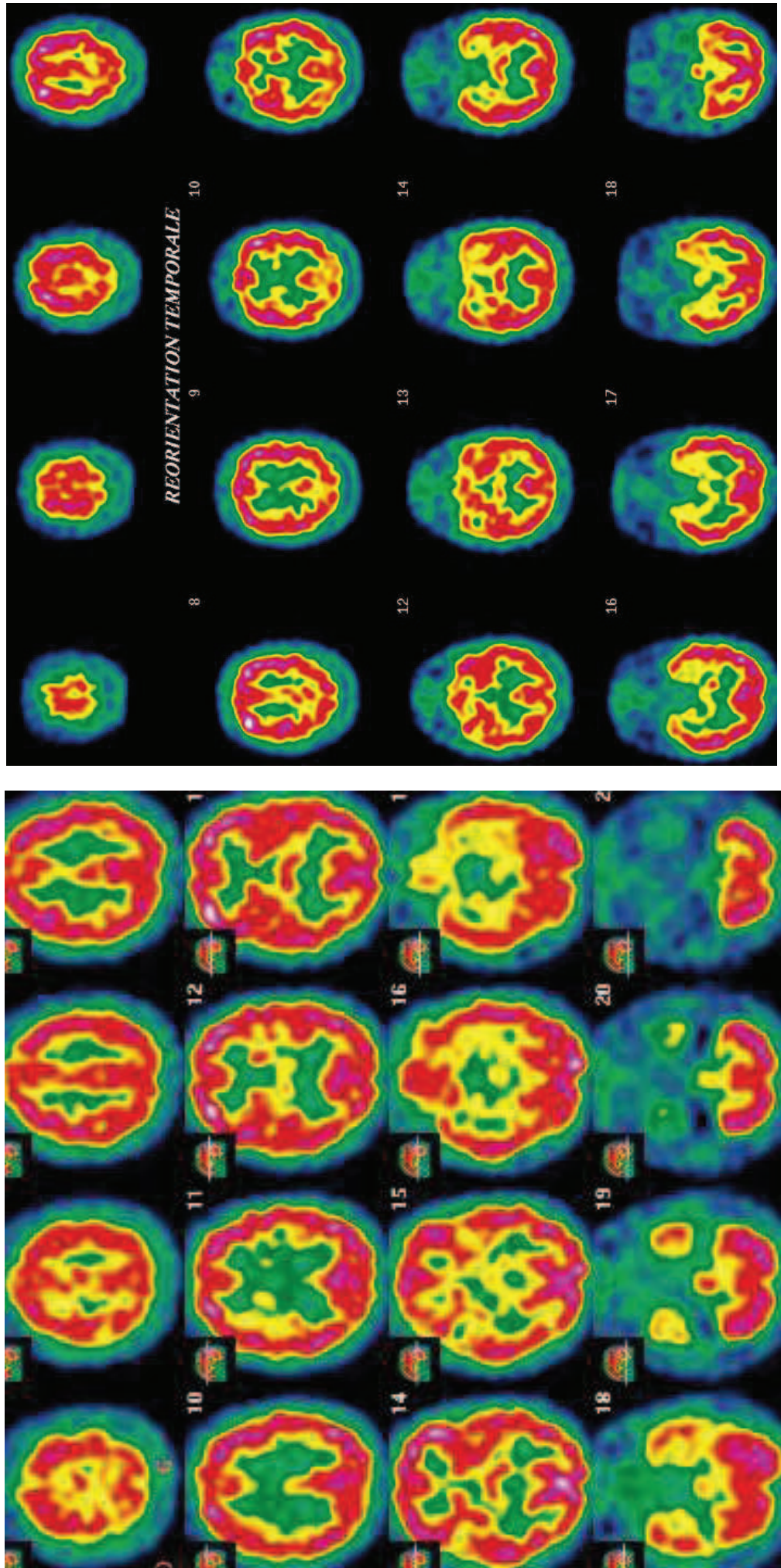
Tamás Györke, Semmelweis University Department of Radiobiology and Oncotherapy, Budapest

Médecine Nucléaire, CHU Montpellier

**Molécules exogènes ciblant  
un tissu vivant par affinité  
spontanée**

# Cibler la perfusion cérébrale par affinité spontanée du traceur

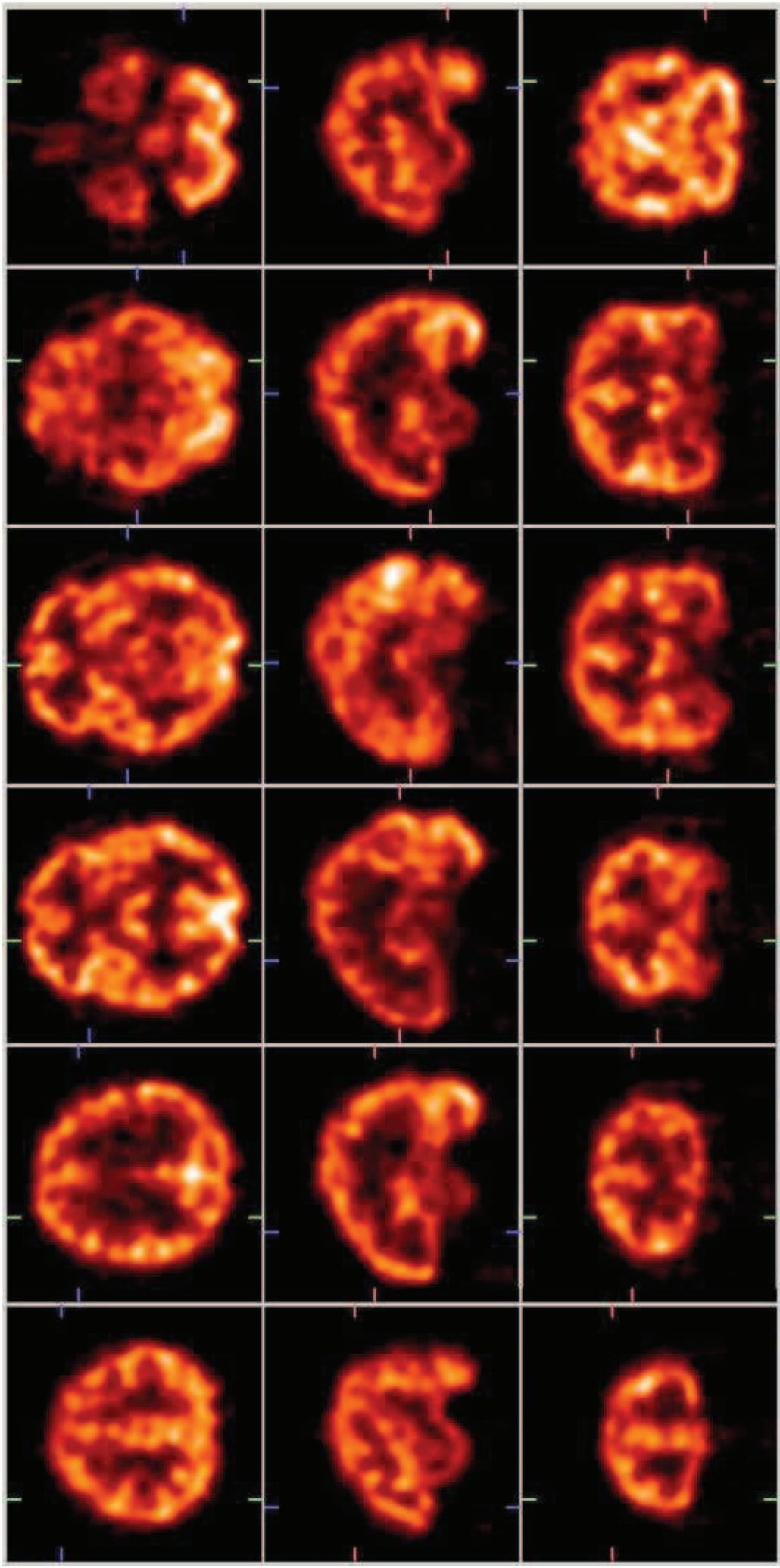
Dérivés d'amphétamines liposolubles et perfusion cérébrale



Perfusion cérébrale en  $^{99m}\text{Tc}$ -HMPAO : examen dans les limites de la normale

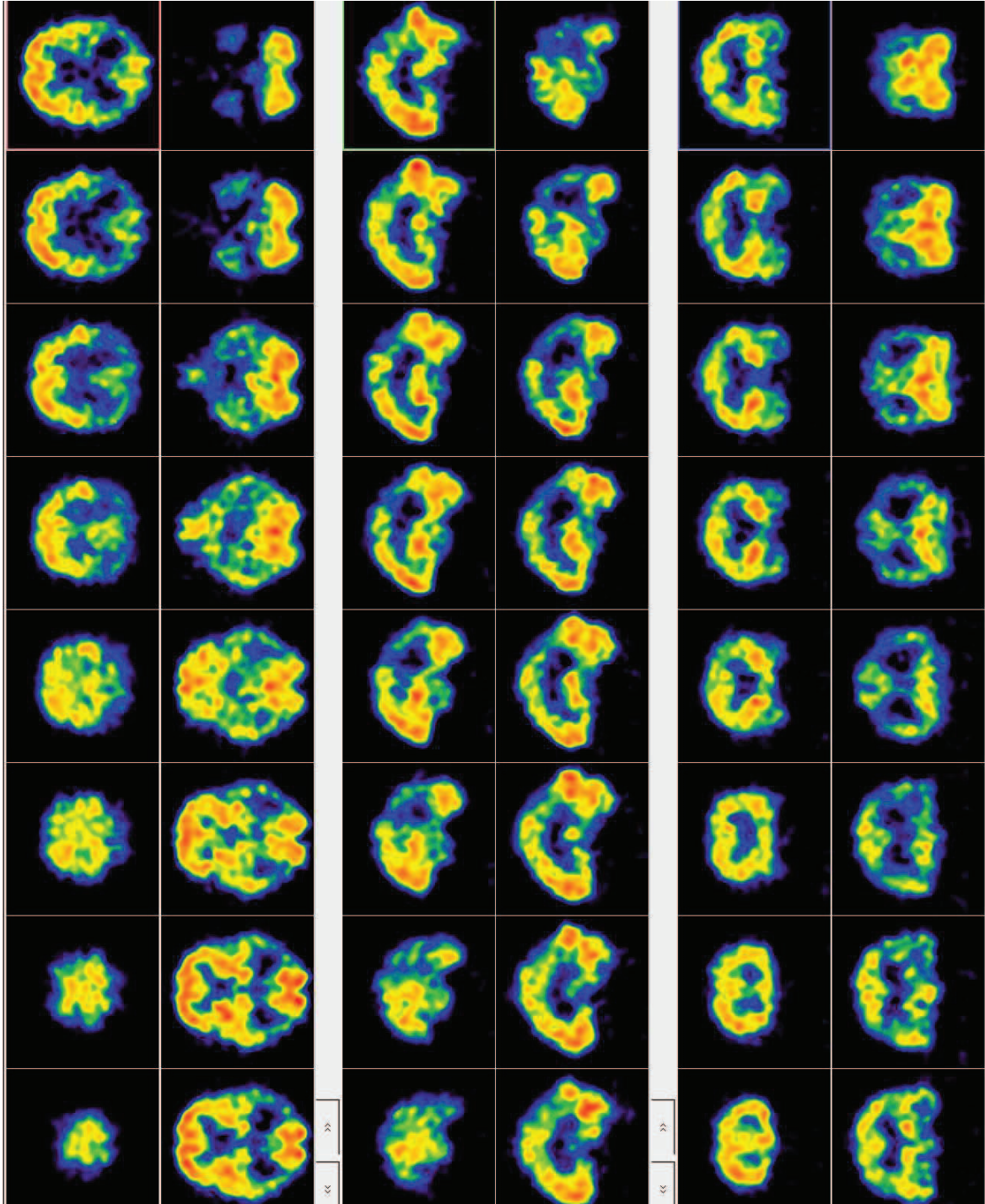
# Application 1 : Neuro-activations

Activation du cortex visuel en  $^{99m}\text{Tc}$ -HMPAO TEMP



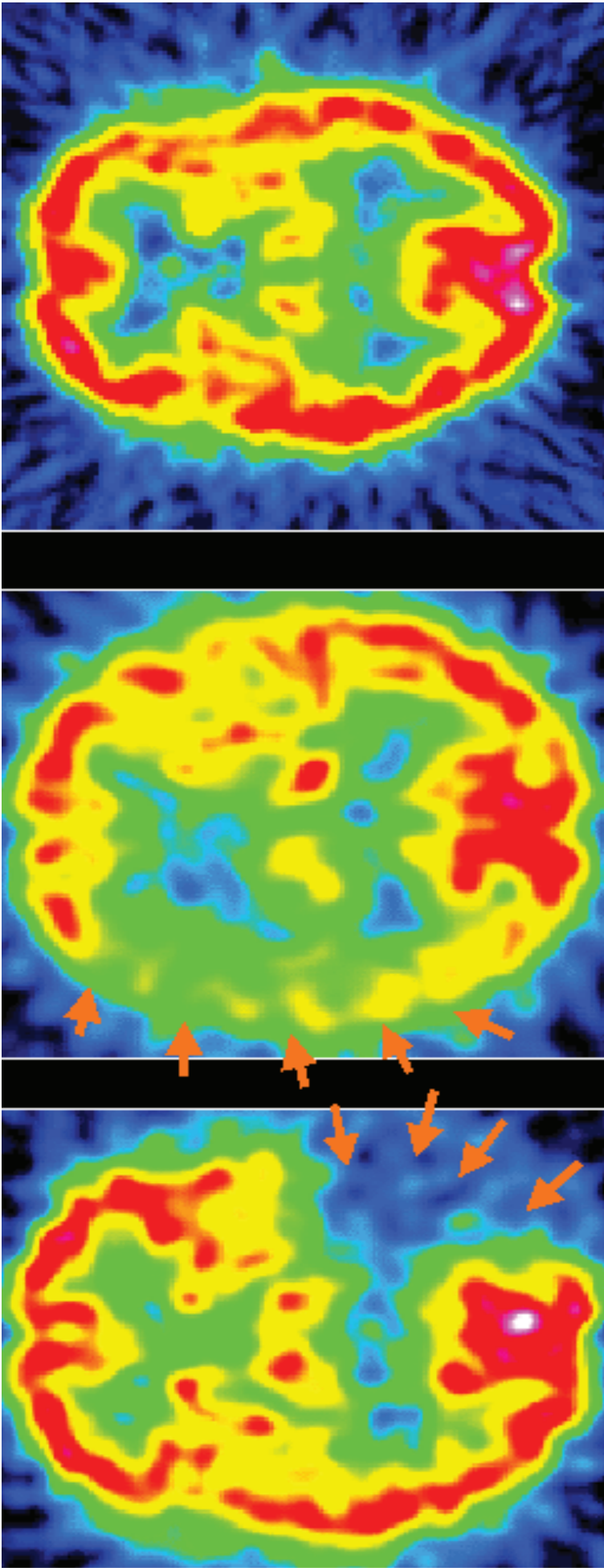
# Application 2 : Dérence d'Alzheimer

Bilateral PT perfusion decrease in  $^{99m}\text{Tc}$ -HMPAO SPECT.



# Application 3 : AIT et AVC en TEMP

Diagnostics différentiels



Reperfusion  
précoce

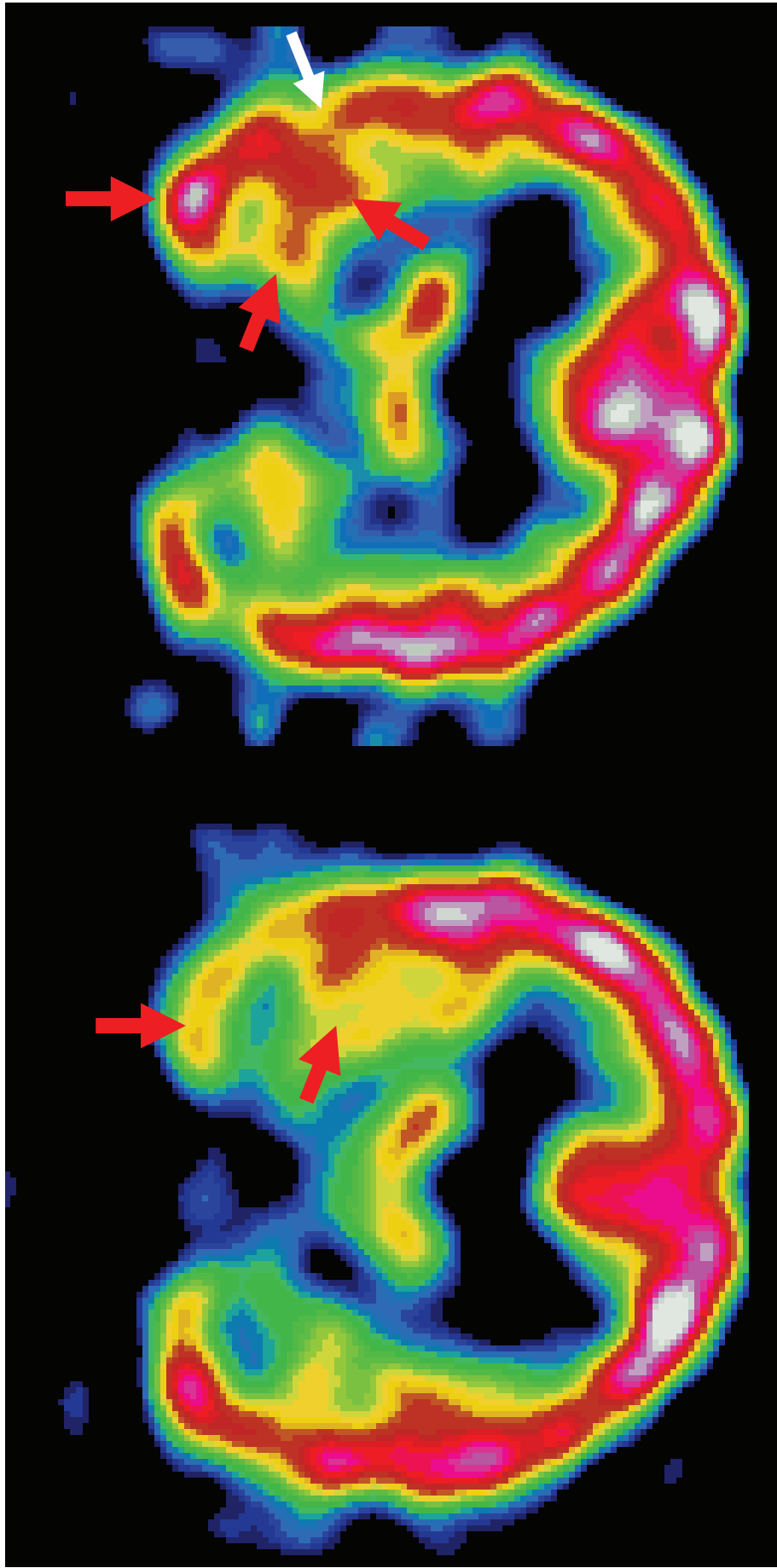
Pénombre  
Ischémique  
DSCr ↓

Nécrose  
Irreversible  
DSCr ↓↓↓

99mTc-ECD

# Application 4 : recherche d'un foyer épileptique en combinant IC et PC

Epilepsie temporo-mésiale gauche en  $^{99m}\text{Tc}$ -HMPAO TEMP

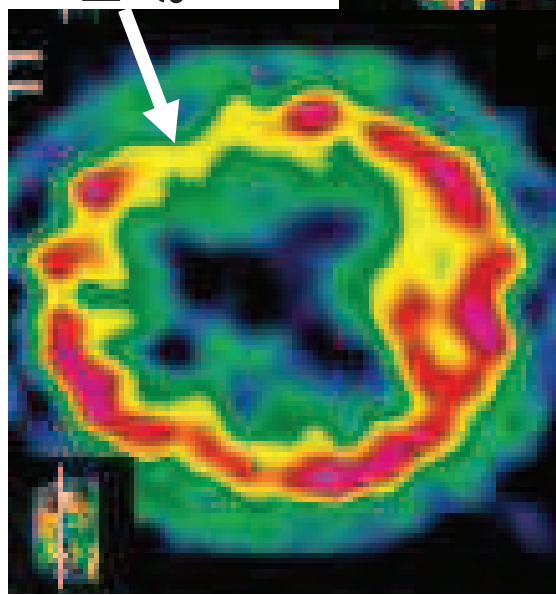


ECD ictal 14/35/30 sec, St 2

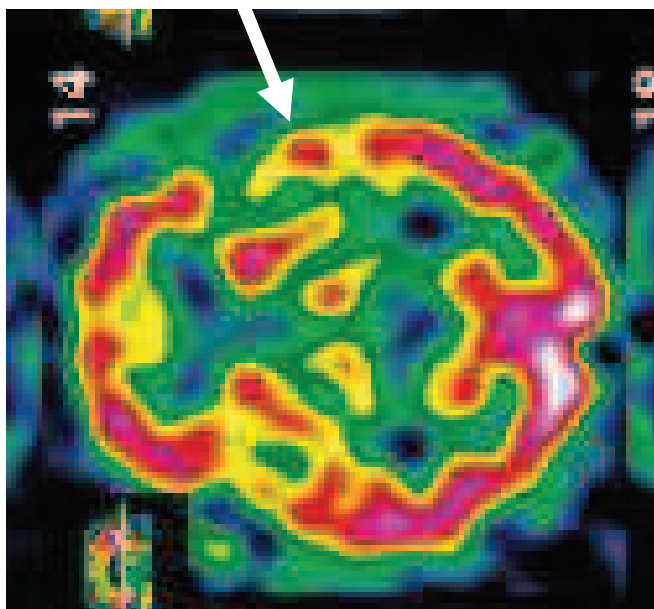
ECD interictal

# Application 5 : diagnostic fonctionnel des démences en TEMP

Démence Sémantique (APP) avec DFT en  $^{99m}$ Tc-HMPAO TEMP  
Aphasie s'intégrant dans une démence fronto-temporale



Hypoperfusion base de F1 G,  
atteinte du Broca probable



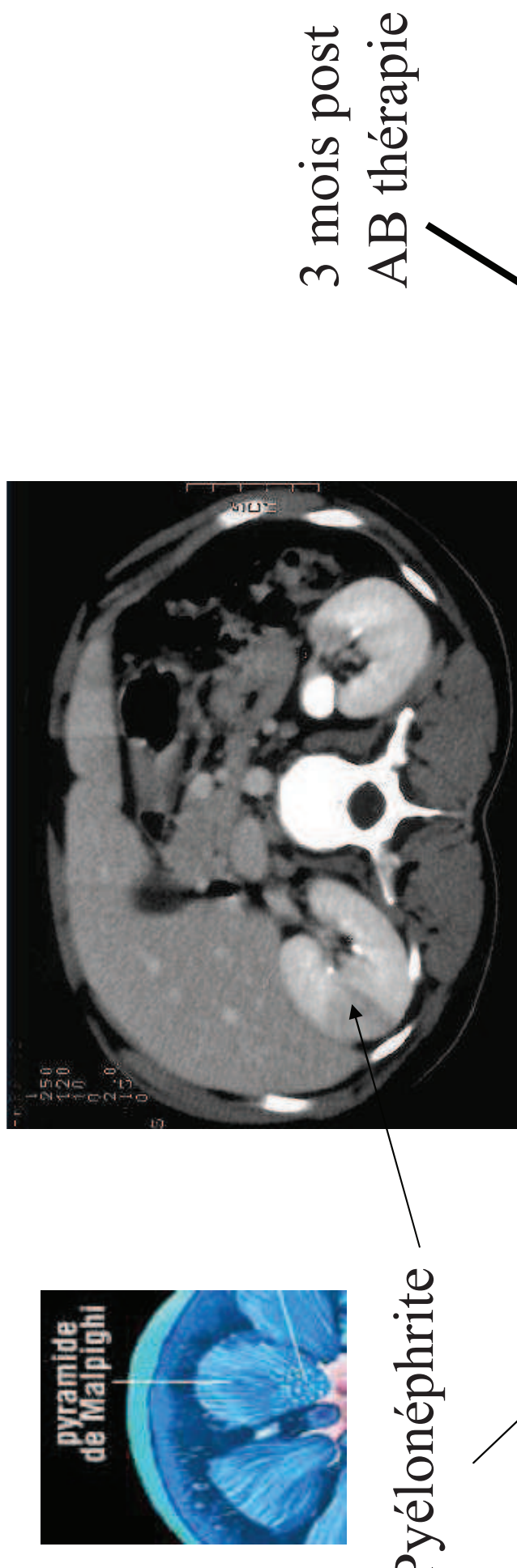
Hypoperfusion T1 Ant  
du même côté, oriente  
l'Aphasie Primaire  
Progressive vers une  
Démence Fronto  
Temporale

Troubles cognitifs  
d'aggravation progressive ;

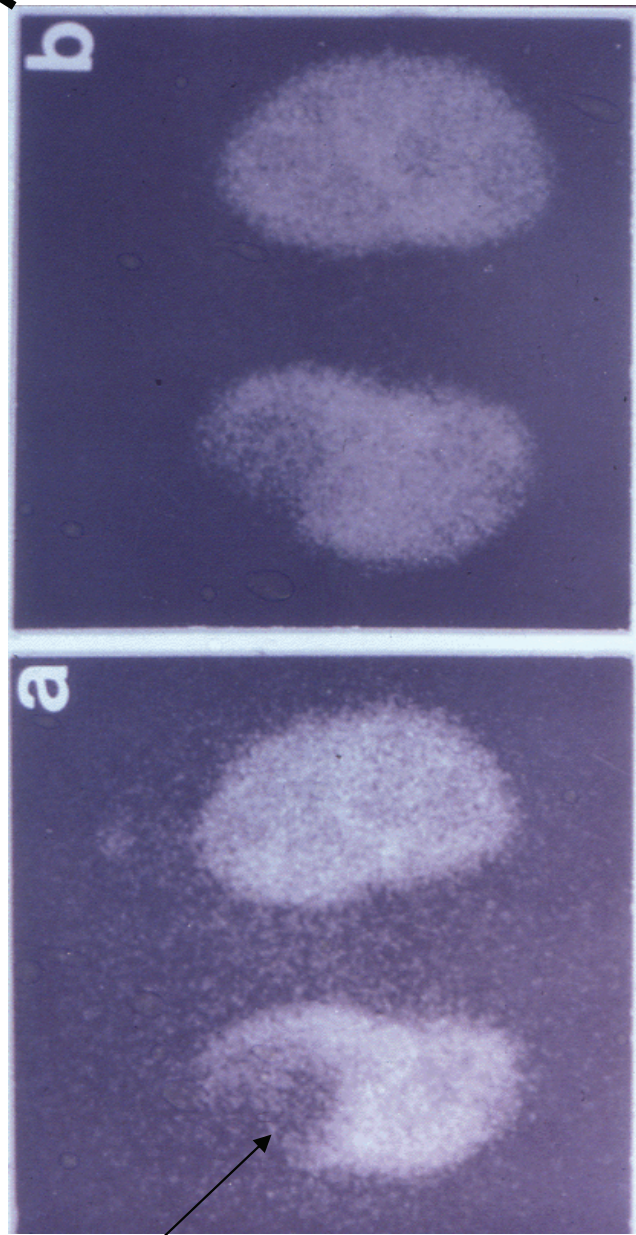
Troubles du langage  
(écholalies, palilalies, troubles  
de la dénomination),

# Ciblage tissulaire par affinité spontanée

## Affinité du **99mTc-DMSA** pour le cortex rénal en TEMP



3 mois post  
AB thérapie

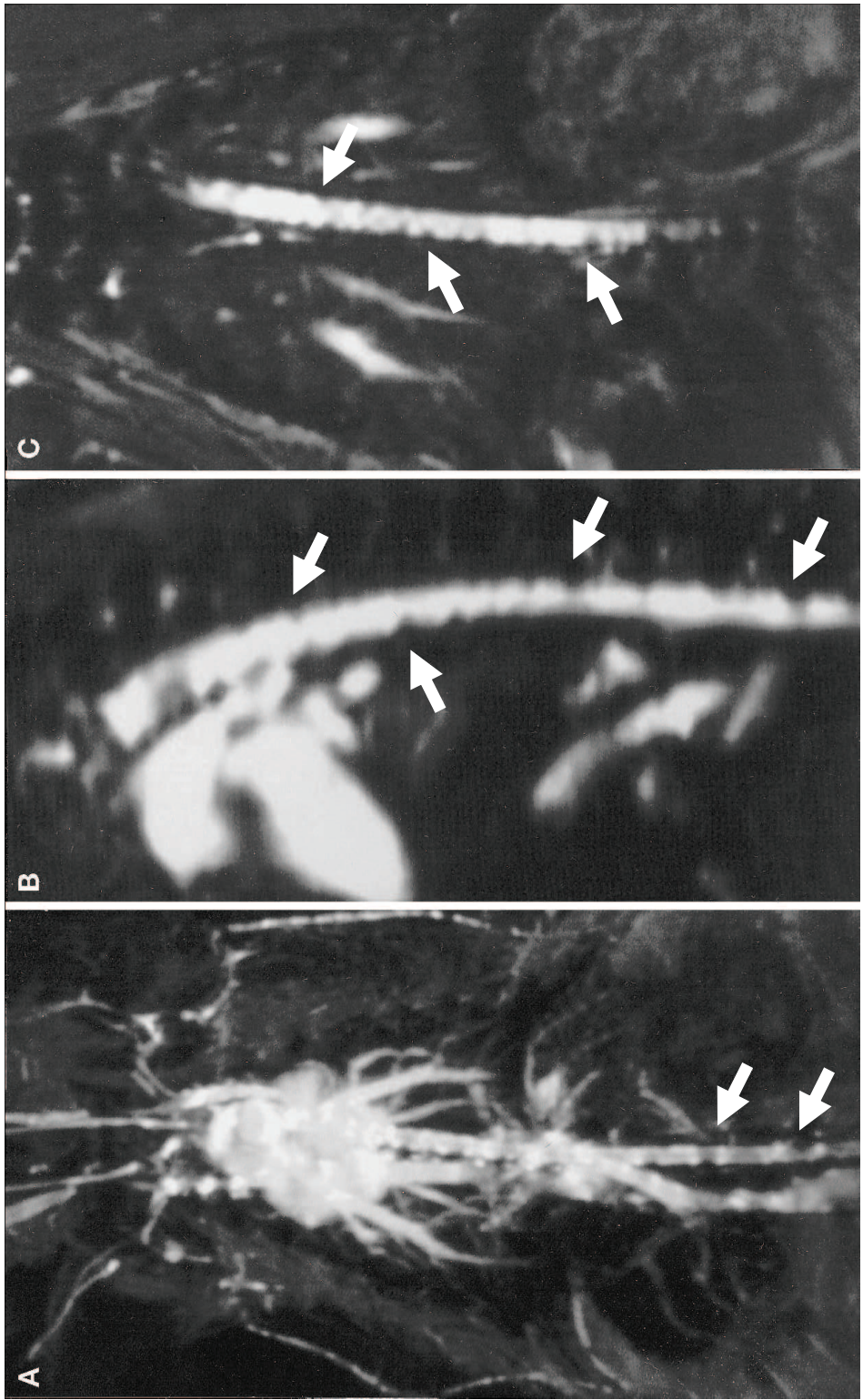


Pyélonéphrite

**Molécules exogènes ciblant  
un tissu vivant par affinité  
provoquée**

# Ciblage par affinité provoquée

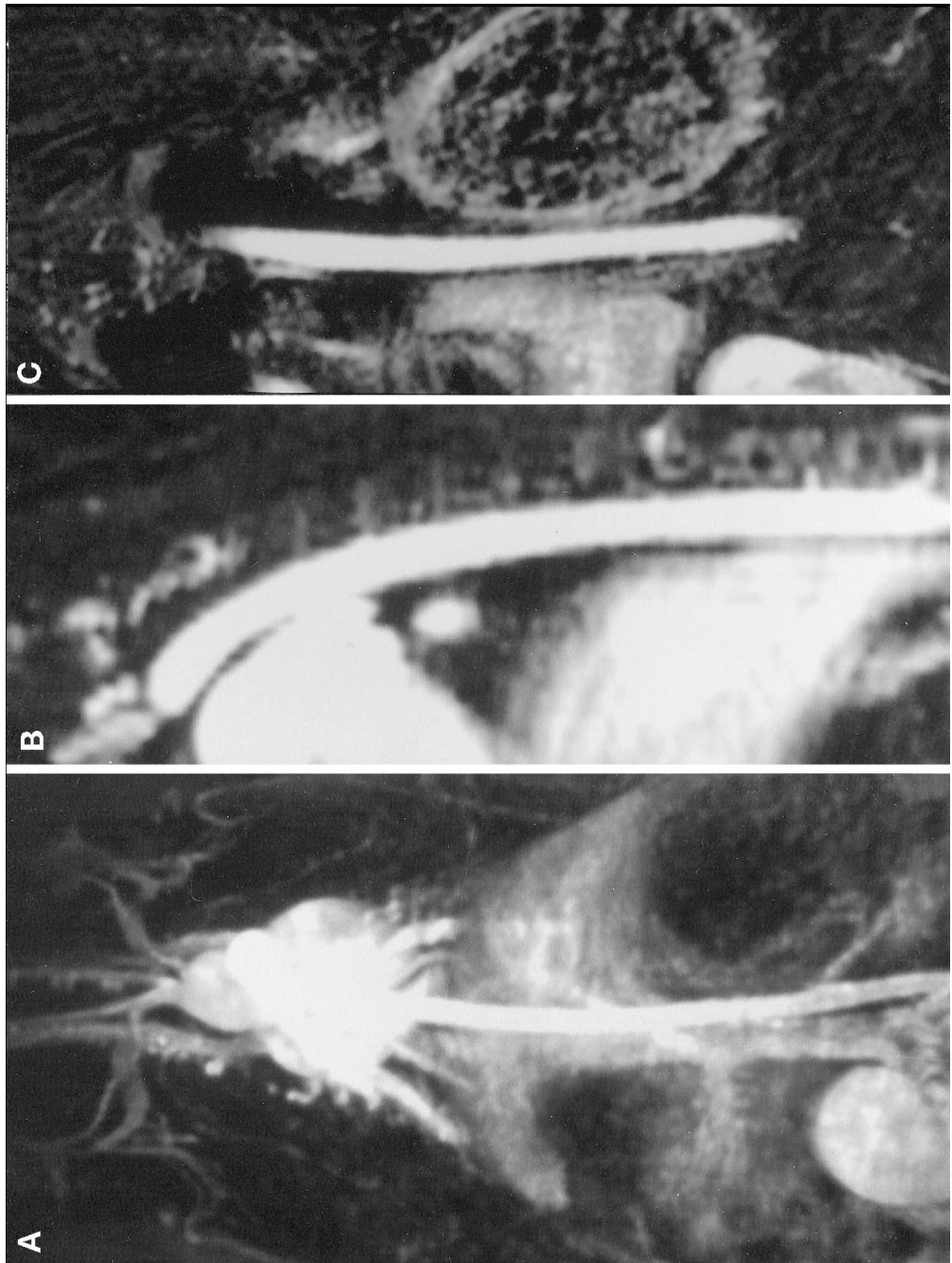
Des USPIO ciblés montrent les plaques chez un lapin âgé de 7 mois, hyperlipidémique et athérosclérotique



Hyposignaux dûs à la capture de Fe dans les macrophages emprisonnés dans les plaques

# Mais si absence d'affinité tissulaire...

Les USPIO ciblés montrent les plaques d'athérome... MAIS  
le Gd-DTPA seul en est incapable

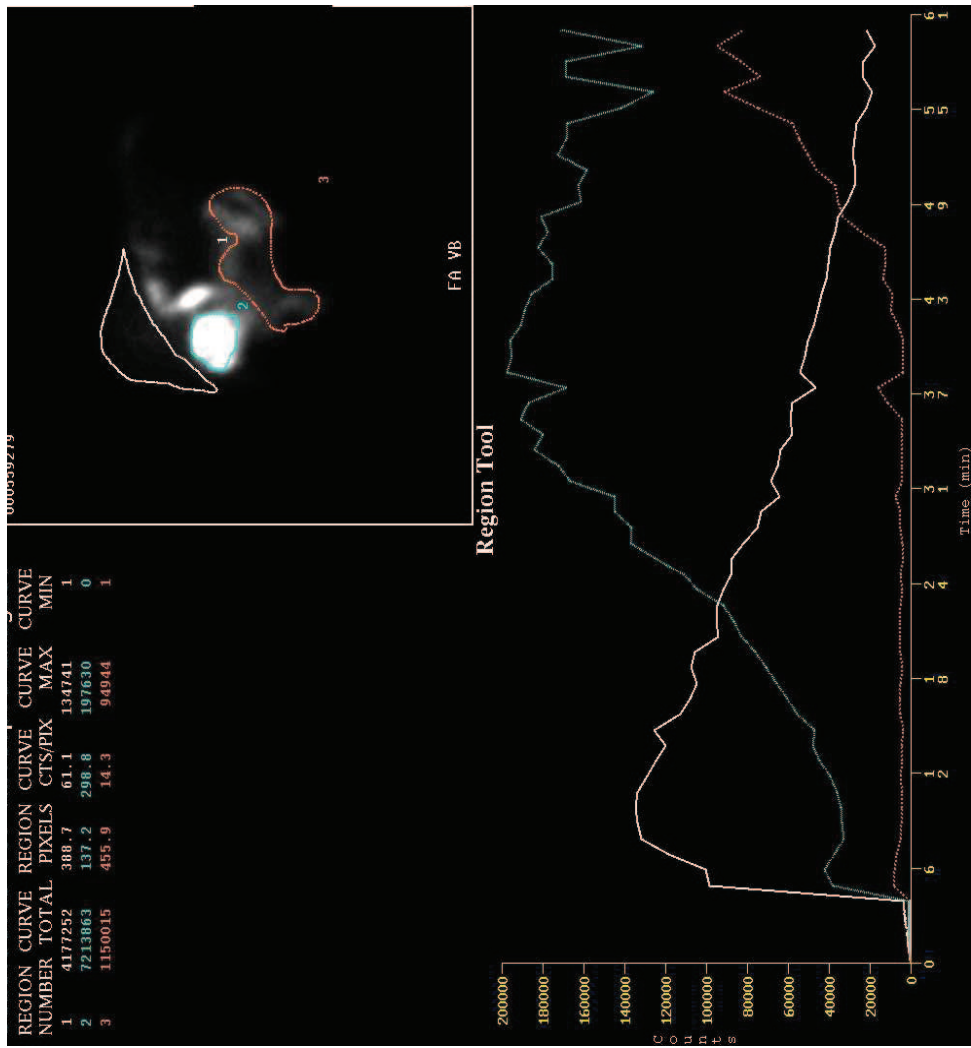


Le même lapin hyperlipidémique

**Molécules exogènes ciblant  
un tissu vivant par capture  
et rétention**

# Ciblage cellulaire par phagocytose

Phagocytose de certains colloïdes par les cellules de Kupffer du foie et fonction hépatique (foie natif et greffon).  
Scintigraphie voies biliaires (dysfonction sphincter d'Oddi)



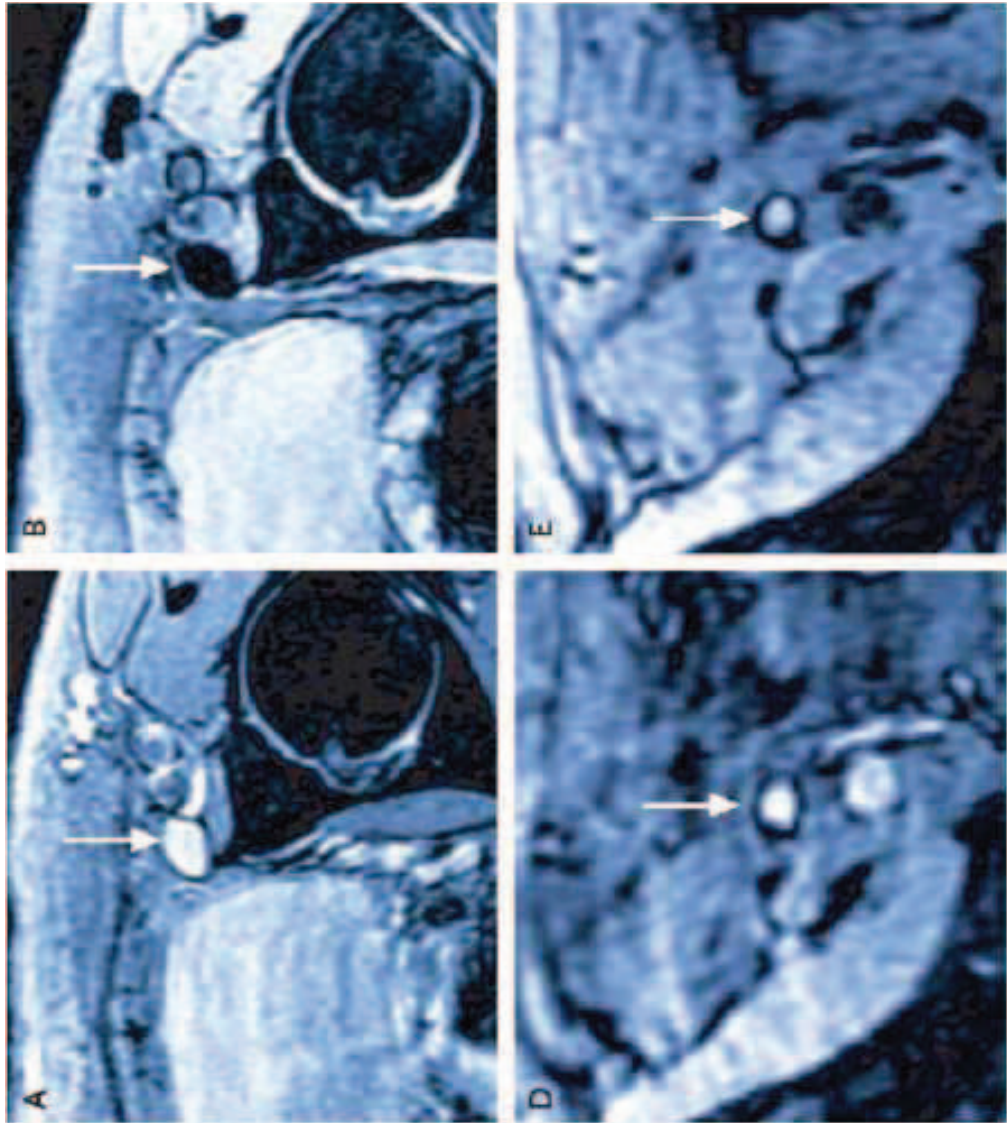
Dlrs biliaires,  
Dilatation des voies  
biliaires EH

# Ciblage tissulaire par phagocytose

## Phagocytose des SPIO par le SRE en IRM

$\Delta \neq$  de ganglions métastatiques

avant SPIO



ganglion sain :  
perte homogène de  
signal.

ganglion tumoral :  
persistance d'un  
hypersignal

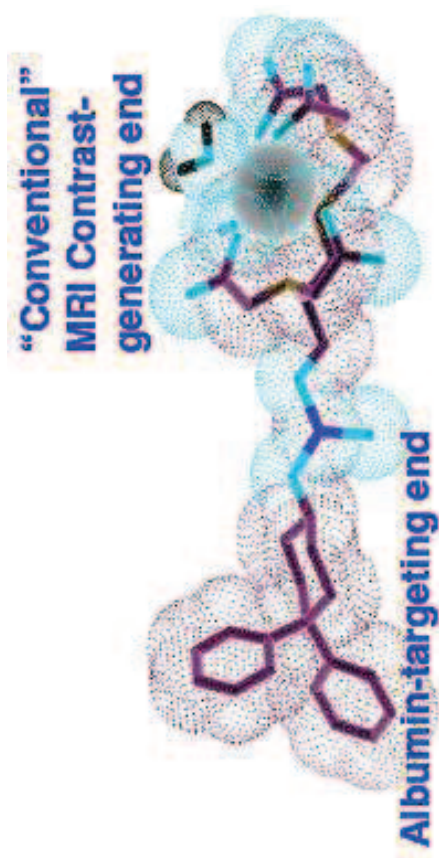
# Rétenzione tissutale par confinement

En IRM, on peut confiner le PdeC en intra-vasculaire par couplage du Chélate de Gd avec la Sérum Albumine.

Iliac & femoral vasculature



Albumin-binding (MS-325)  
Enhanced relaxivity while in the blood  
Long life = hi-res blood pool MRA

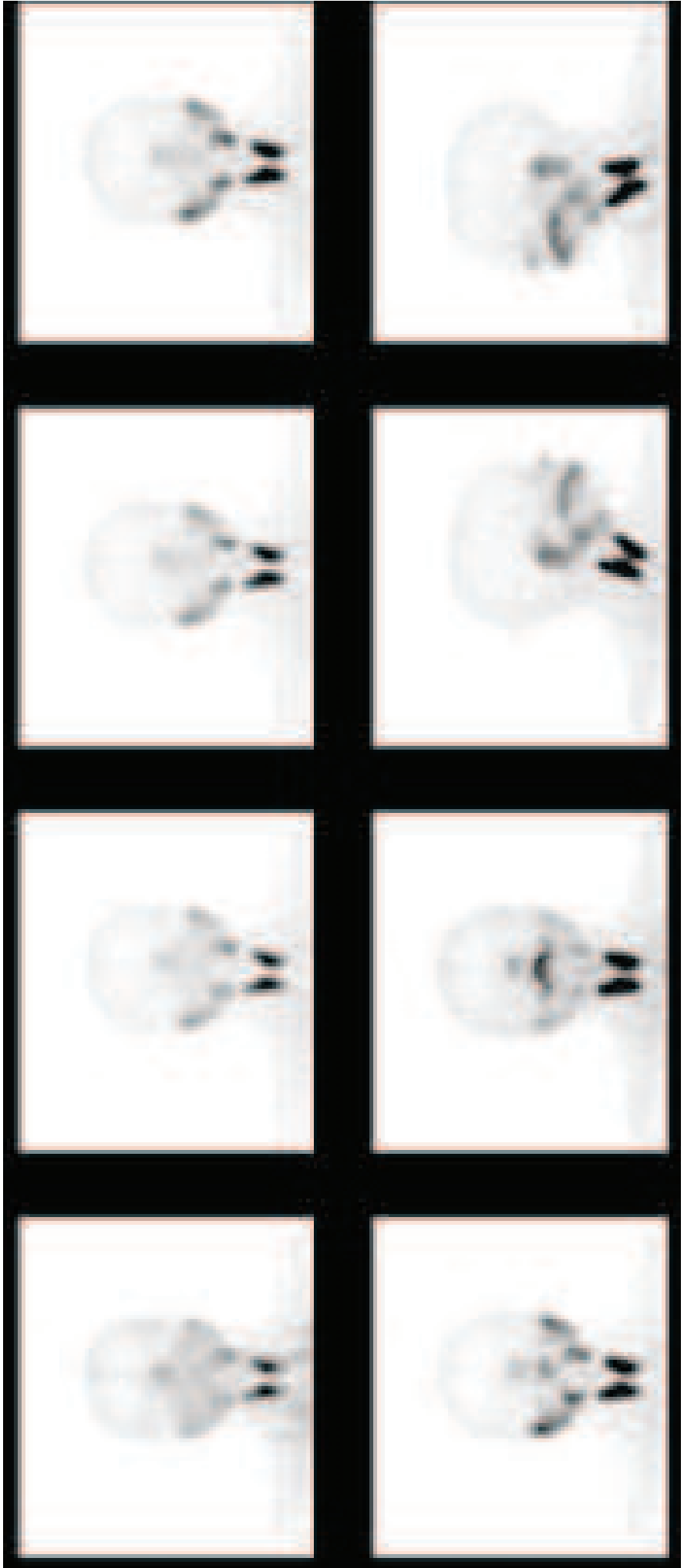


**Molécules exogènes ciblant  
un tissu vivant par  
sécrétion et excrétion**

# Ciblage tissulaire par sécrétion

Sécrétion active de Technétium par les muqueuses et les glandes.

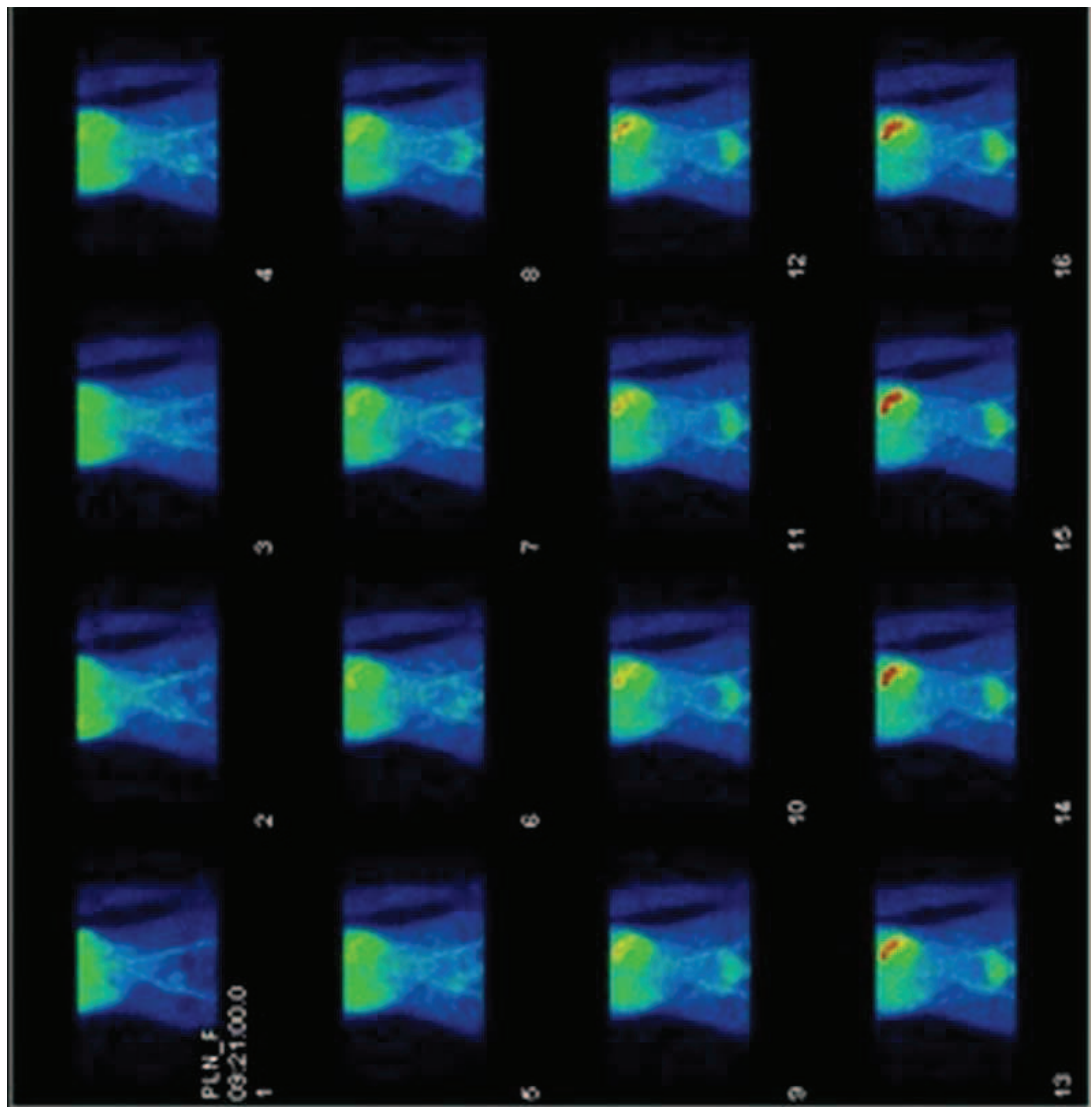
Ex. : scintigraphie des glandes salivaires (et de la thyroïde)



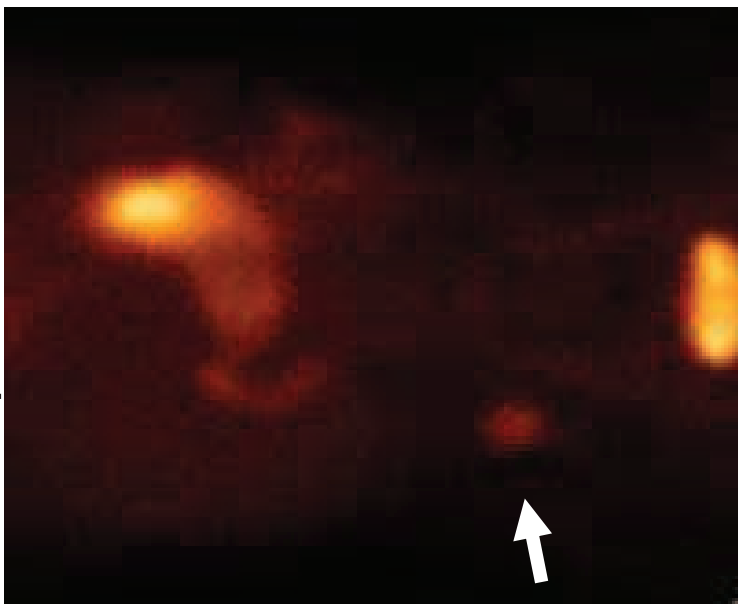
**$^{99m}\text{Tc}$ -Pertechnétate**

# Application : un tissu (gastrique) ectopique sécrète activement le $^{99m}\text{Tc}$ .

Recherche de diverticule de Meckel



60 min post IV  $^{99m}\text{Tc}$

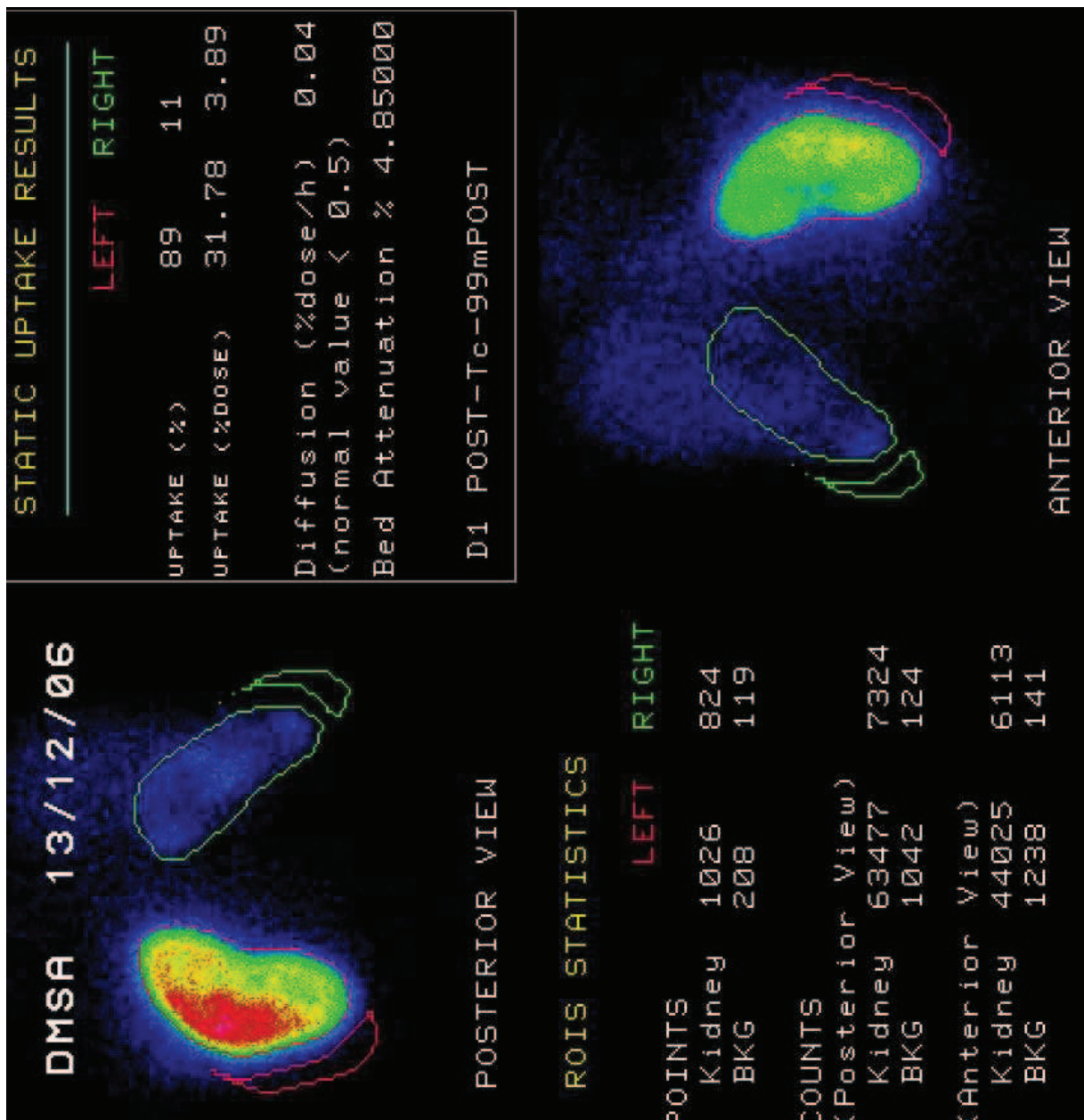


Tamás Györke, Semmelweis University  
Department of Radiology and Oncotherapy,  
Budapest

$^{99m}\text{Tc}$ -Pertechnéte

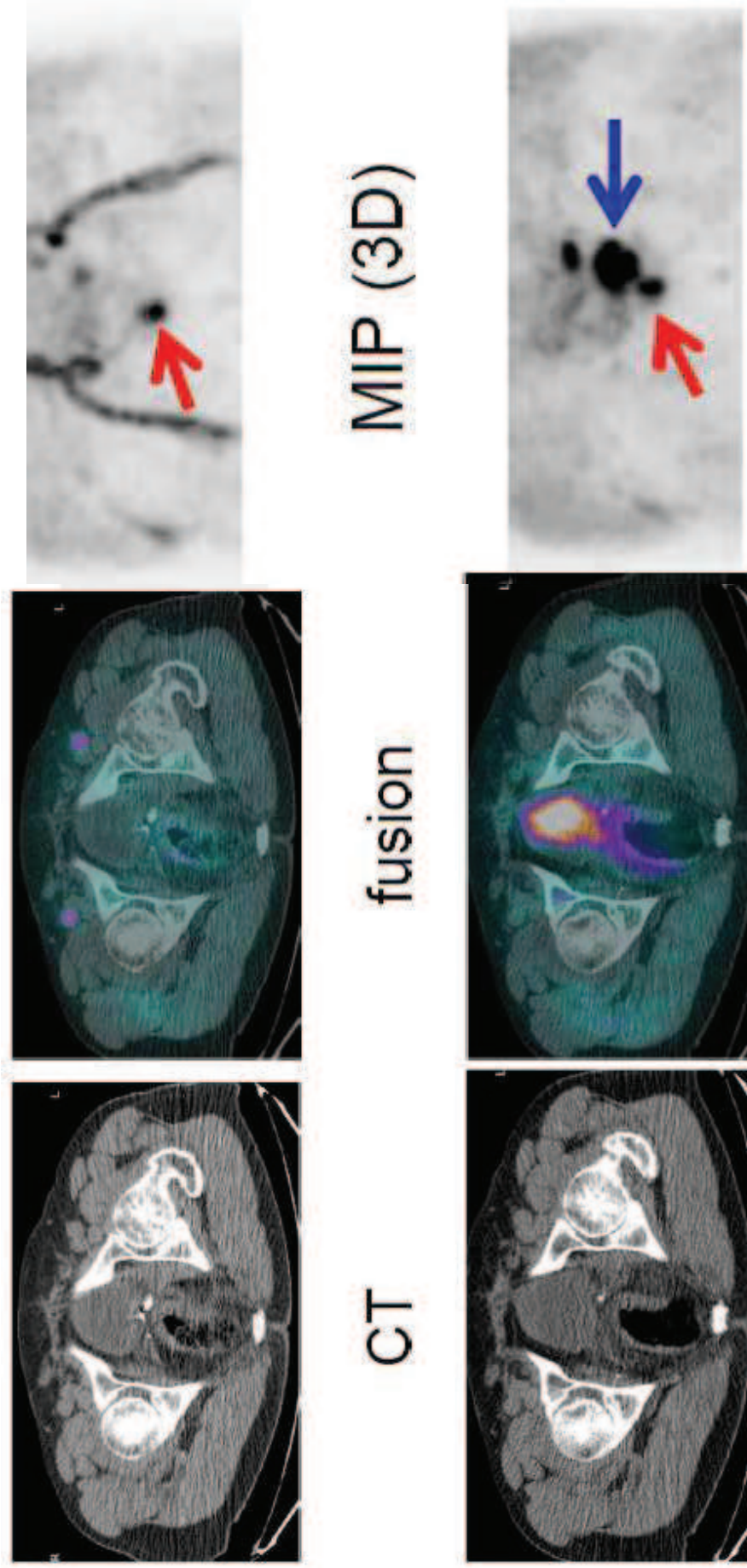
# Ciblage tissulaire par excrétion

## Le $^{99m}\text{Tc}$ -MAG3 sécrété par les cellules tubulaires du rein permet son exploration dynamique.



# Ciblage tissulaire par excrétion

## Elimination urinaire précoce de la <sup>18</sup>F-Choline



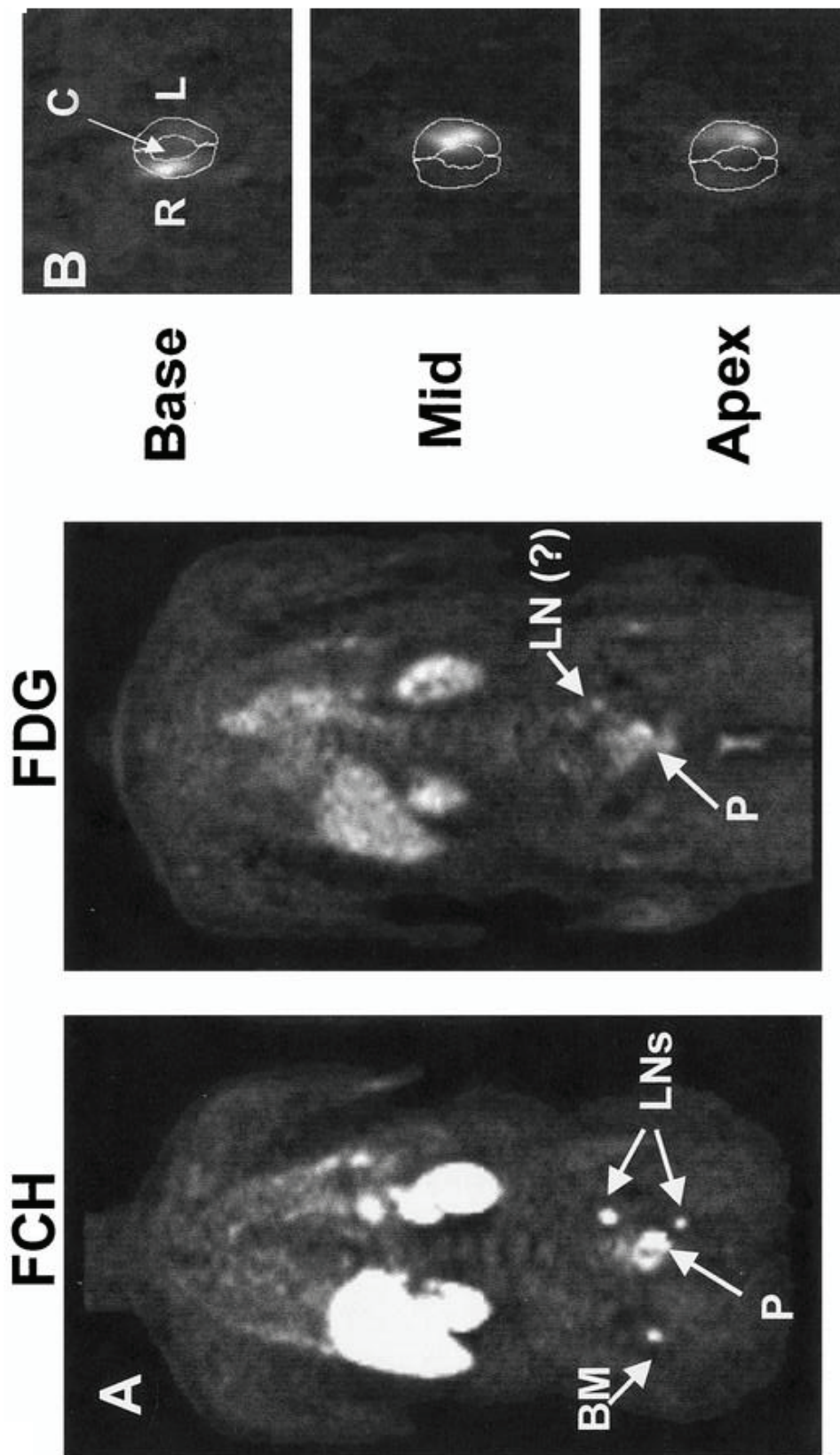
Patient à jeun ( $> 4h$ )

- Activité injectée : 180-250 MBq
- Enregistrement dynamique 10 min sur pelvis +++ : visualiser prostate avant vessie
- Hydratation  20 mg furosémide
- Acquisition corps entier

Drs A. Boubaker & A. Zouhair, PD & MER  
Services de Médecine nucléaire & Radio-Oncologie  
Centre Hospitalier Universitaire Vaudois,  
Lausanne-Suisse

# Application : Cancer de la prostate en TEP à la $^{18}\text{F}$ -Choline

79-year-old patient with prostate cancer (serum PSA 134 ng/mL)



Multiple foci of FCH uptake in pelvic lymph nodes (LNs), bone (BM) and prostate (P). FDG uptake not observed near corresponding lymph nodes or bone metastasis.

Transaxial images of FCH distribution within prostate gland.  
Prostate outlines manually drawn on images

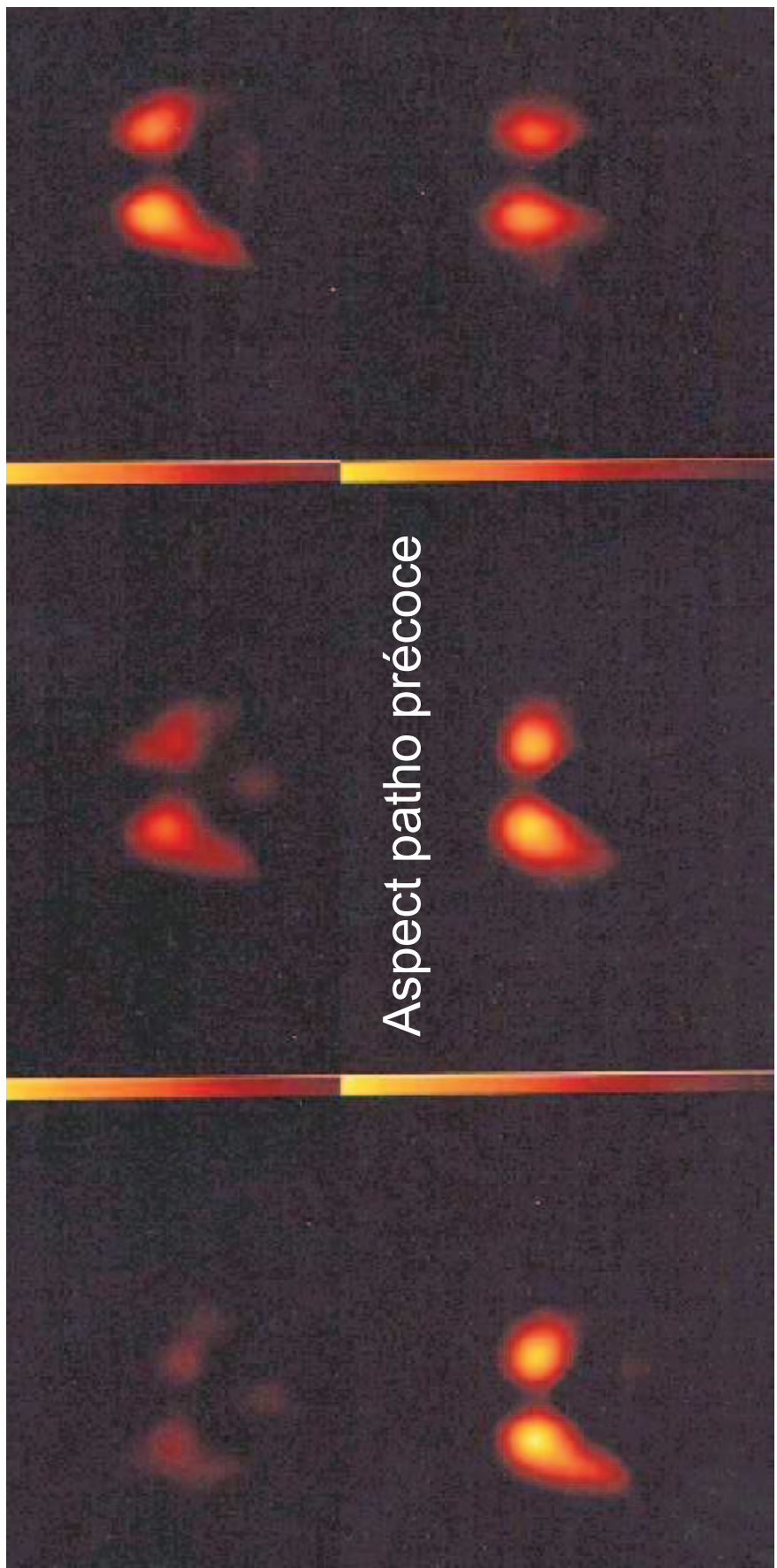
**Molécules exogènes ciblant  
un tissu ou une pathologie  
par affinité pour certains  
(de ses) récepteurs**

# Cibler une synapse par ses récepteurs

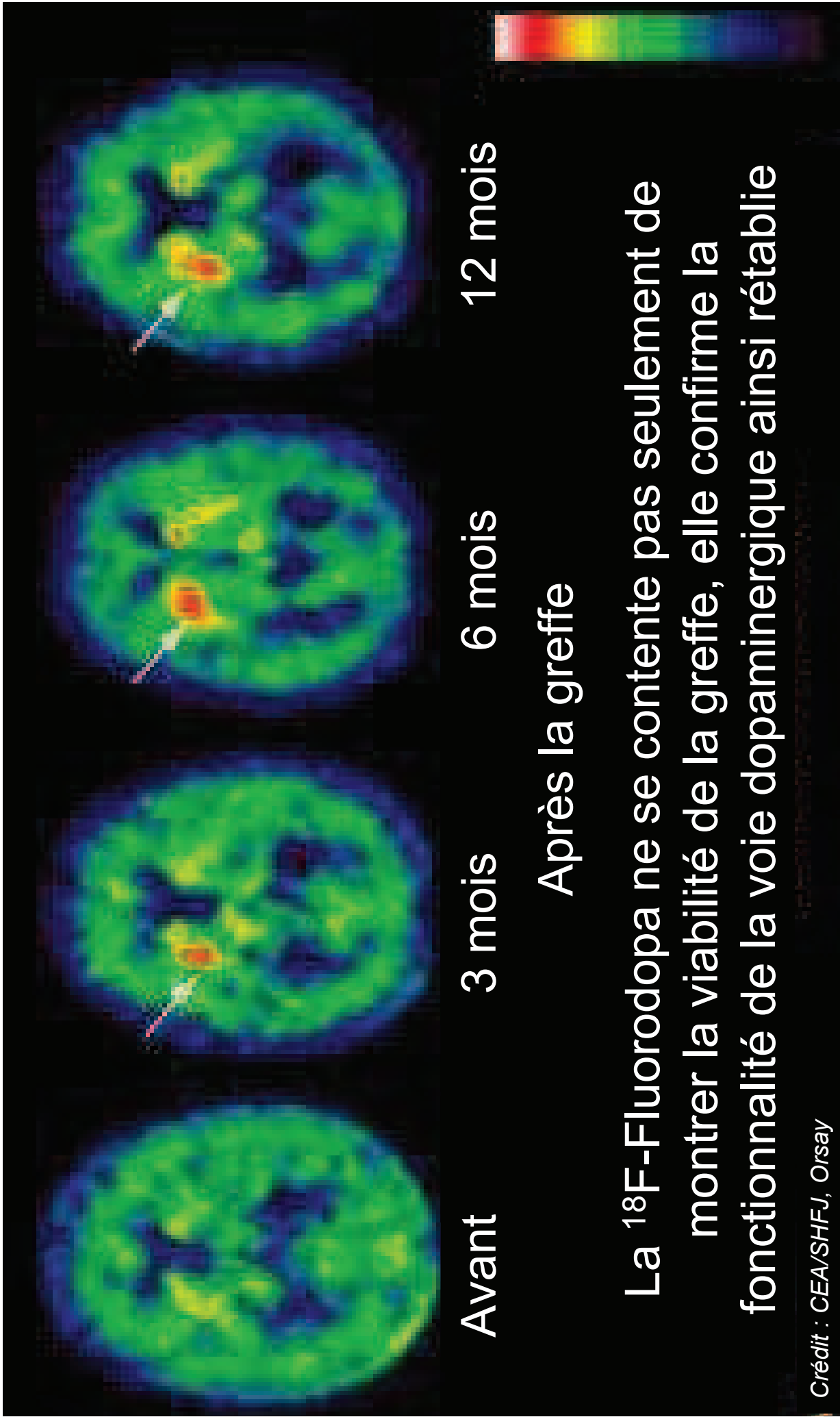
## Scintigraphie de la neurotransmission dopaminergique

$^{123}\text{I}$ -DaTScan, analogue de la cocaïne, ou  $^{18}\text{FDopa}$

Fixation spécifique sur les Striata (terminaisons synaptiques des neurones dopaminergiques pré-synaptiques

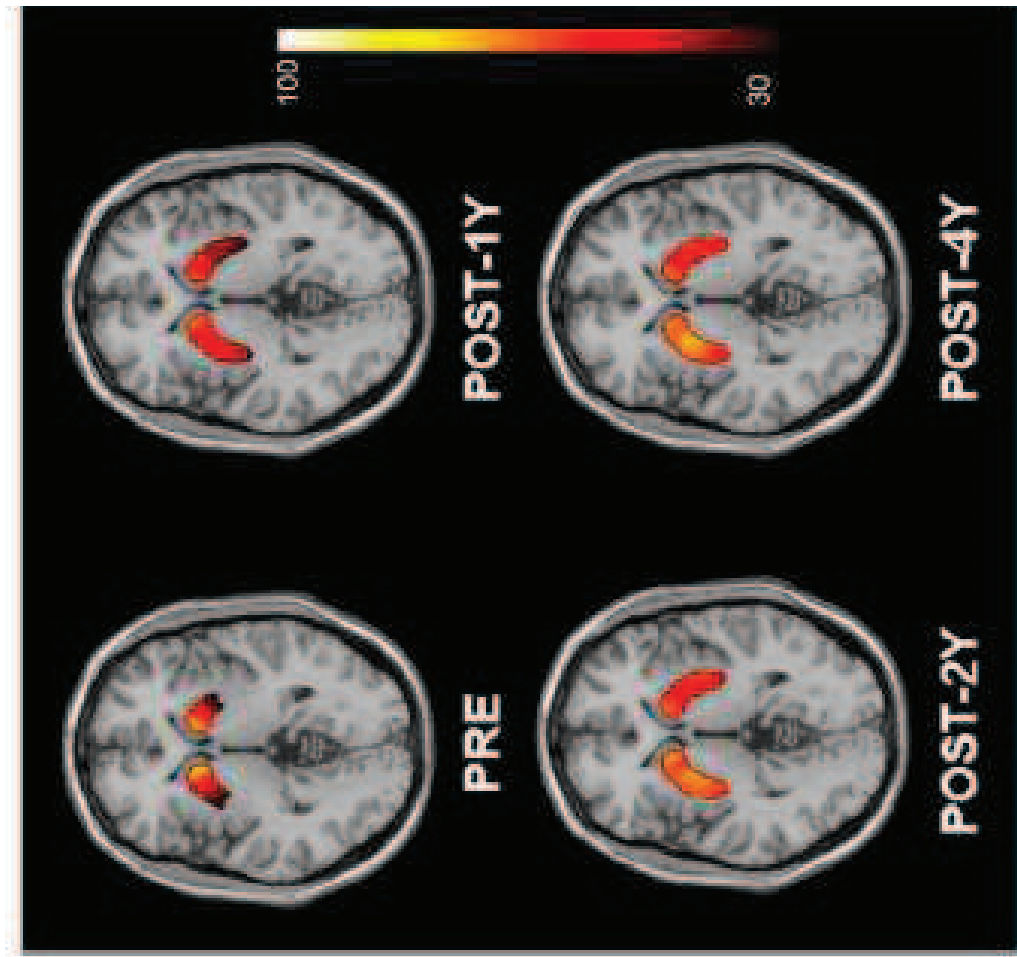


# Application : thérapie cellulaire pour Parkinson chez l'homme



# Application : thérapie cellulaire pour Parkinson chez l'homme

Human embryonic dopaminergic tissue transplantation for advanced Parkinson's disease

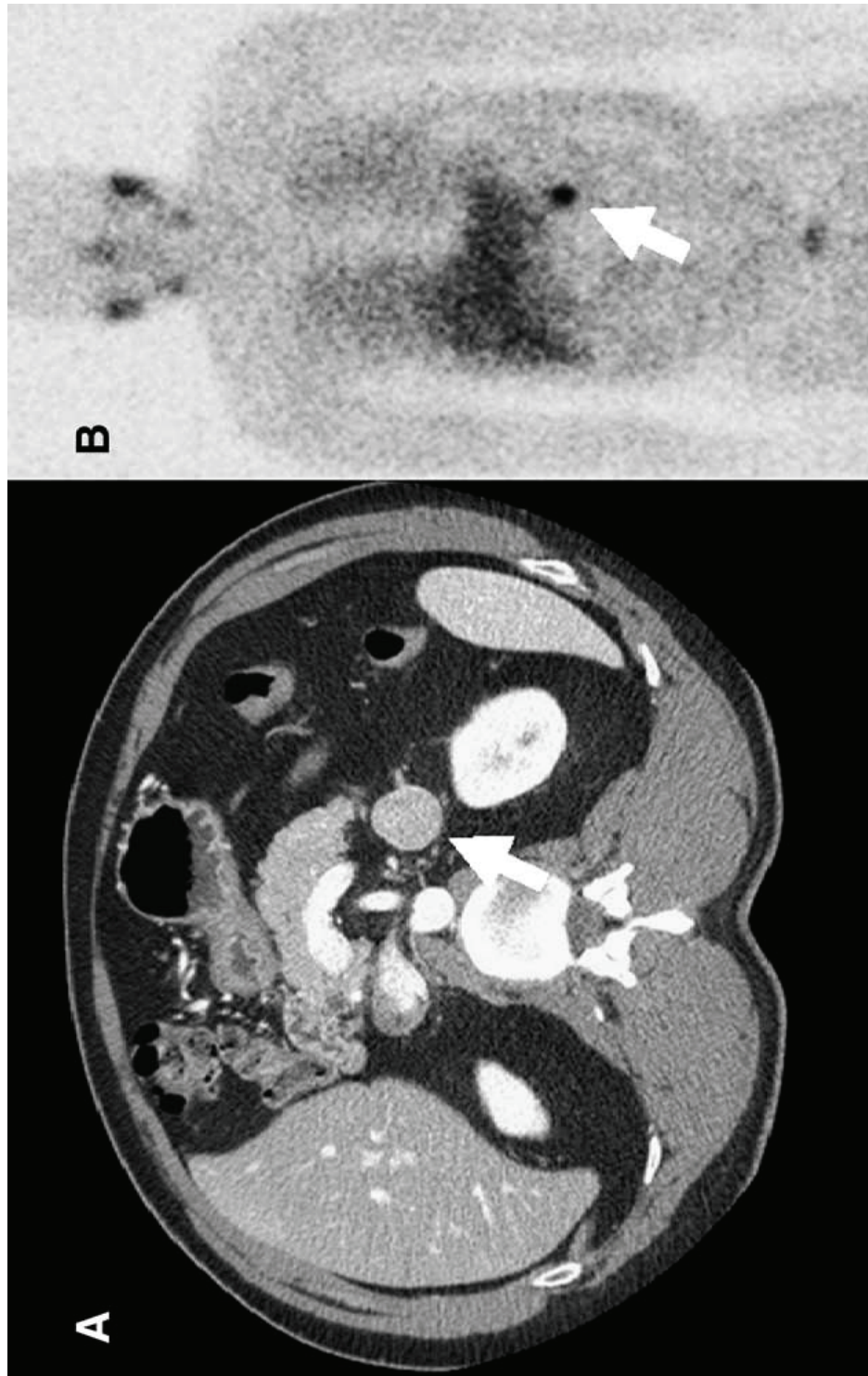


Maps of mean  $^{18}\text{F}$ -FDOPA uptake in transplant recipients scanned at baseline (pre) and at 1 (post 1 y), 2 (post 2 y), and 4 (post 4 y) years after surgery.

Color stripe represents normalized values of  $^{18}\text{F}$ -FDOPA uptake in striatal regions thresholded at 30%.

# Cibler une pathologie par ses récepteurs

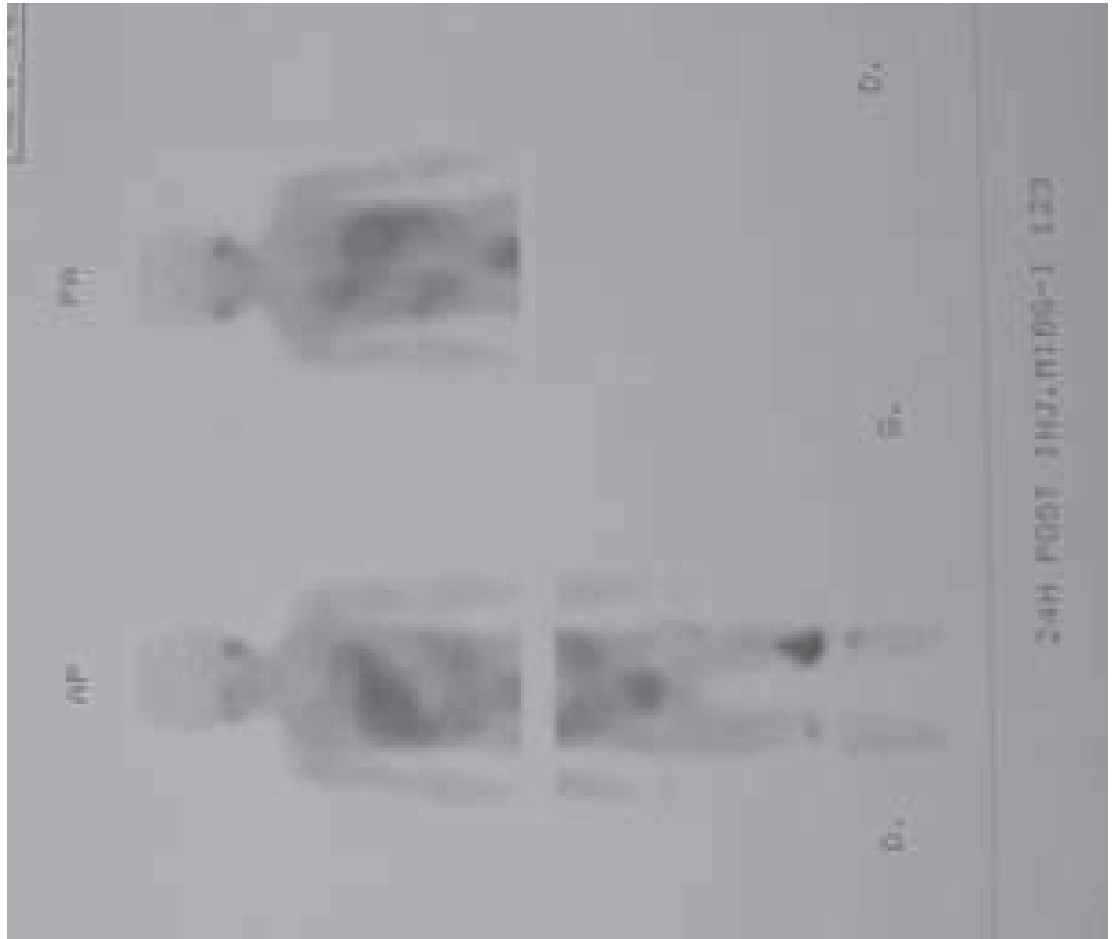
$^{123}\text{I}$ -MIBG ou  $^{131}\text{I}$ -MIBG et tumeurs solides phéochromocytomes et paragangliomes



49-year-old man who presented with hypertension: (A) CT scan shows a localized left adrenal mass (white arrow); (B)  $^{131}\text{I}$ -MIBG scan shows localized uptake in the patient's left adrenal (white arrow), indicating that the mass is a PHEO. The MIBG scan also shows normal uptake in the salivary glands and liver. The product is excreted in the urine and, thus, the bladder shows activity as well.

# Application : diagnostic du primitif

La  $^{131}\text{I}$ -MIBG précise l'origine de la métastase (neuroblastome)



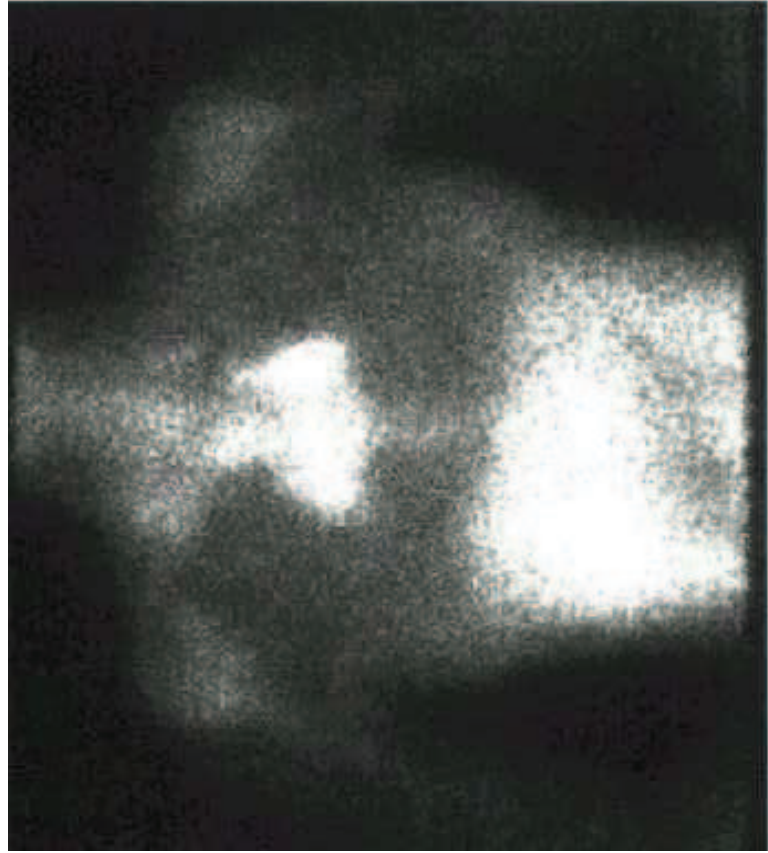
Rx genou profil: neuroblastome métastatique

Scintigraphie MIBG: métastase de neuroblastome

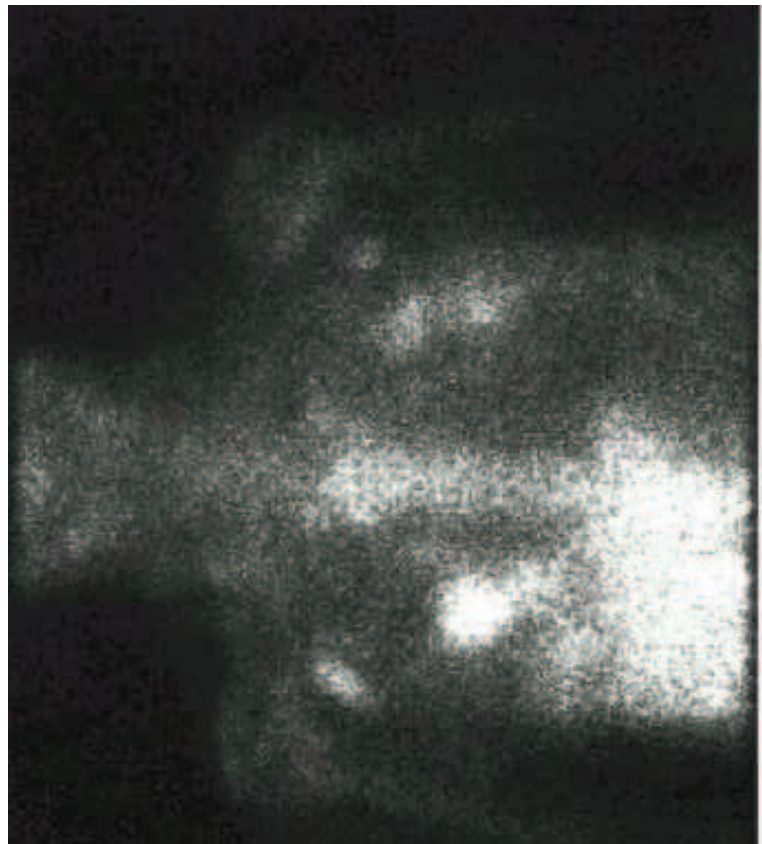
# Cibler une pathologie par ses récepteurs

## $^{67}\text{Ga}$ et lymphome (récepteurs CD71 à la transferrine)

Le gallium 67 a un métabolisme proche de celui du fer. Injecté par voie IV sous forme de citrate, il se fixe sur la transferrine plasmatique. Les lymphomes possèdent des récepteurs CD71 à la transferrine. Le gallium 67 permet donc la visualisation de ces récepteurs. De plus, le gallium 67 est aussi un marqueur de viabilité tumorale des lymphomes.



Fixations médiastinales  
Fixations pulmonaires

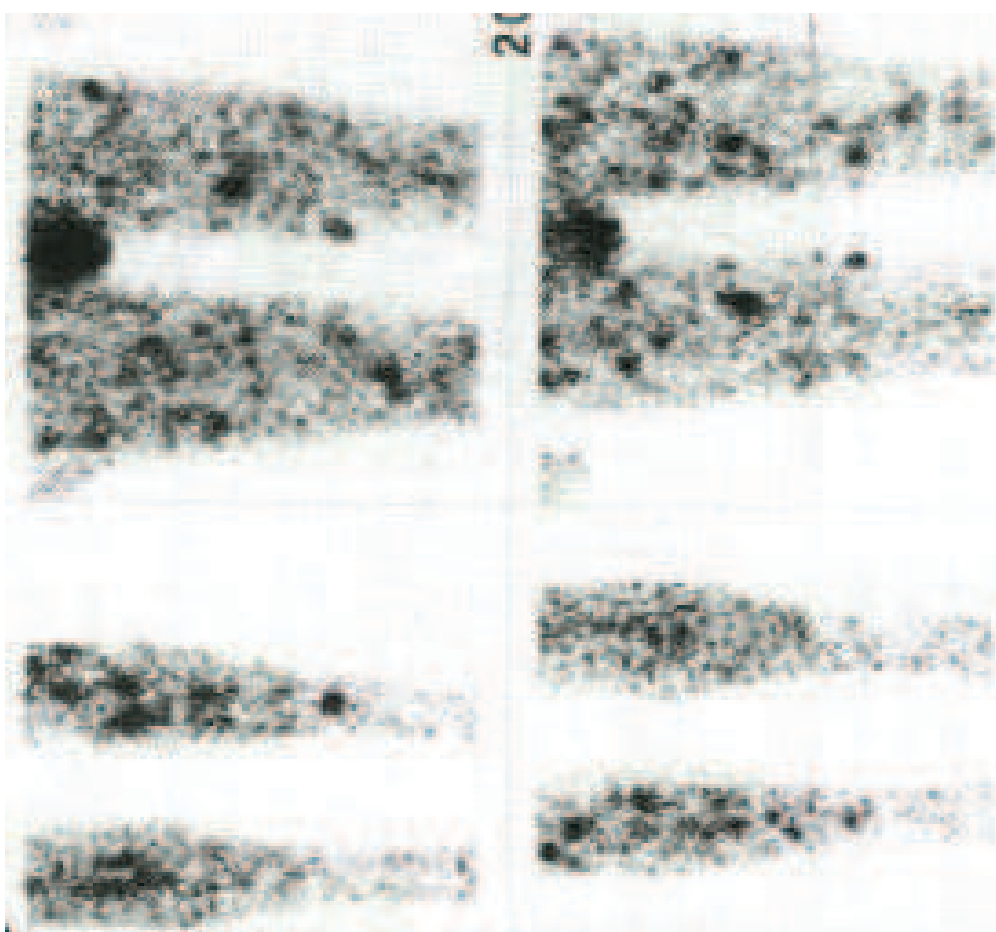
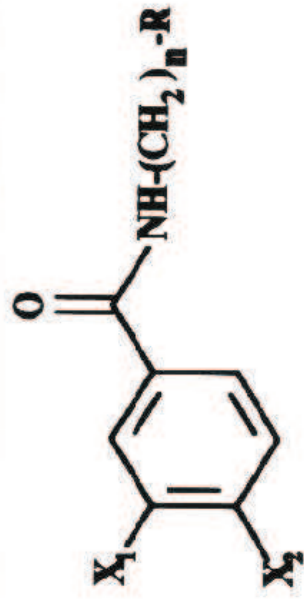


# Cibler une pathologie par ses récepteurs

$^{123}\text{I}$ -IMBA et mélanome (récepteurs sigma des cellules mélaniques )

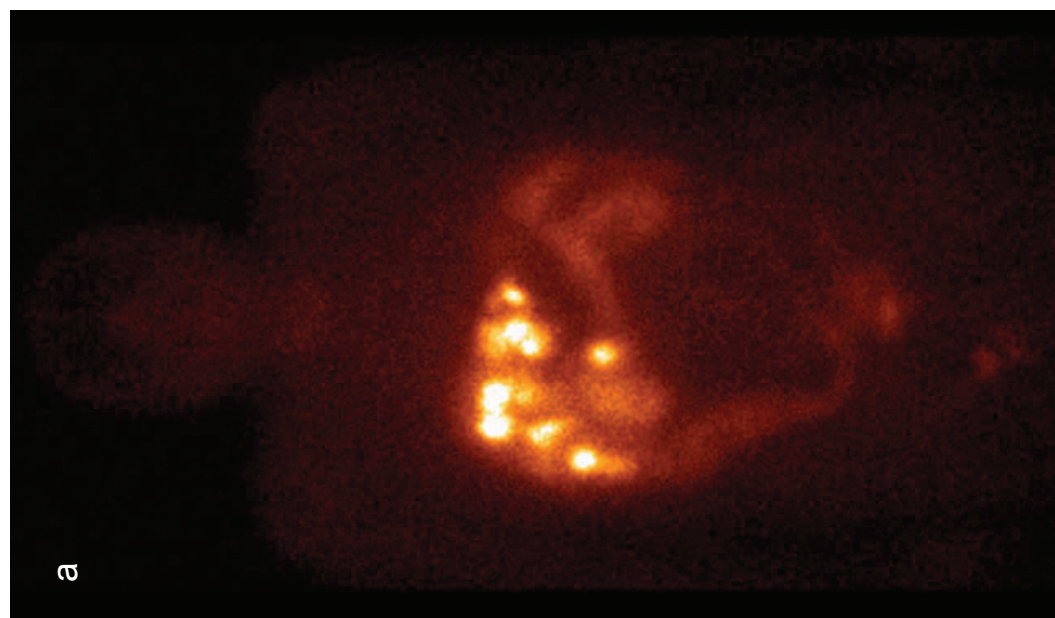
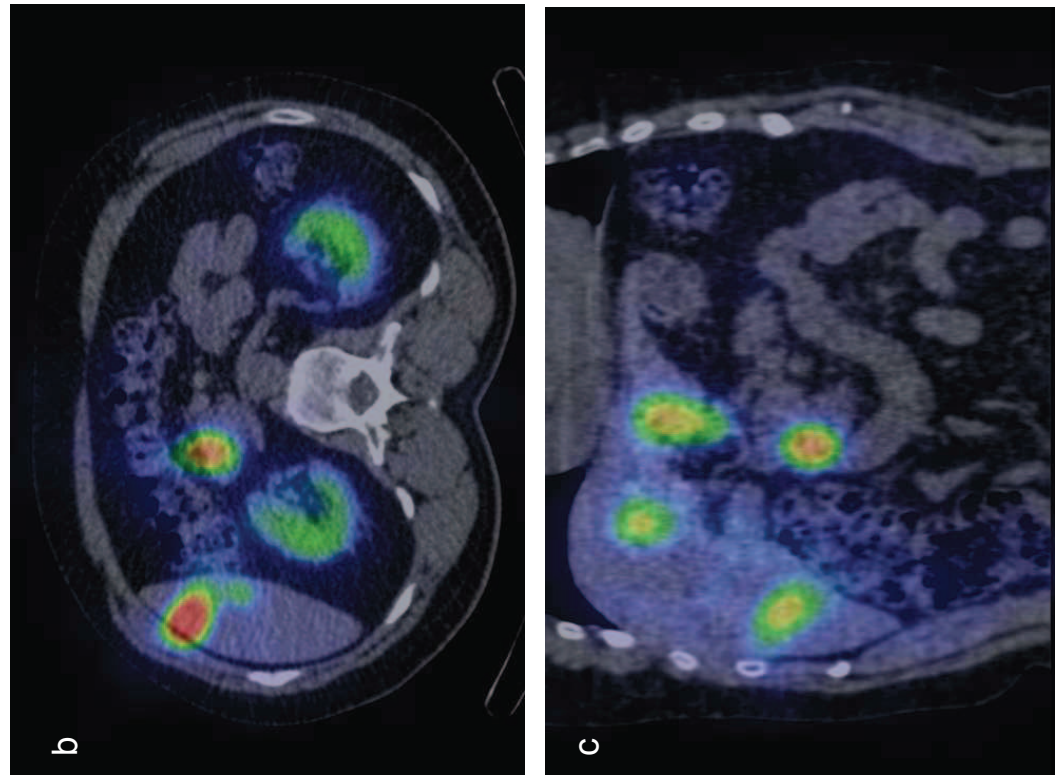
Disséminations métastatiques d'un mélanome

L'IMBA, dérivée de la benzamide, se fixe sur les récepteurs sigma des cellules mélaniques

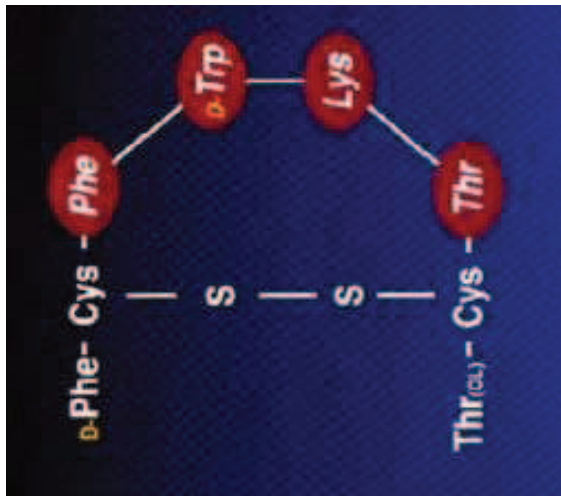


# Cibler une pathologie par ses récepteurs

**Scintigraphie des récepteurs de la somatostatine :  
Octreoscan (tumeurs carcinoides, neuroendocrines, ...)**



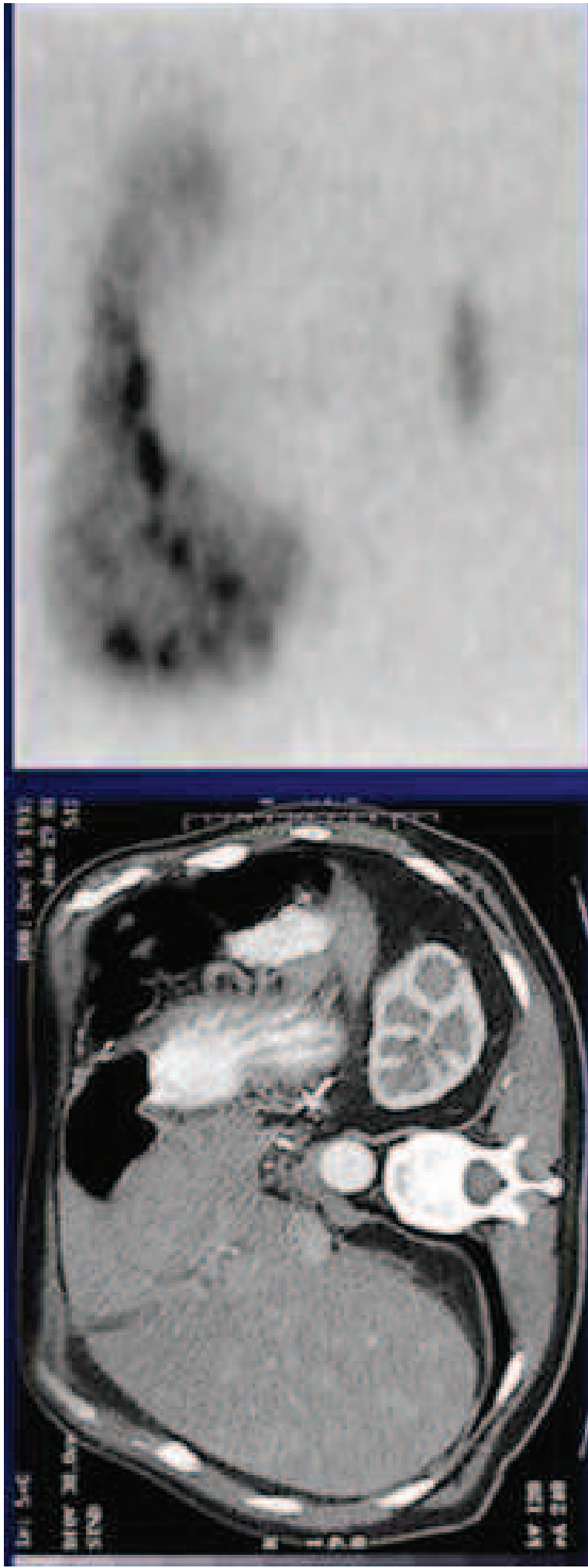
111In-Octréotide



Somatostatin receptor scintigraphy (Octreoscan). Planar anterior (a), transversal (b) and coronal (c) fusion SPECT-CT images. Multiple liver metastases, the primary neuroendocrine tumor is in the head of the pancreas.

# Application : TDM < 0 là où Scinti > 0

Malignant metastatic neuroendocrine tumor producing predominantly pancreatic polypeptide

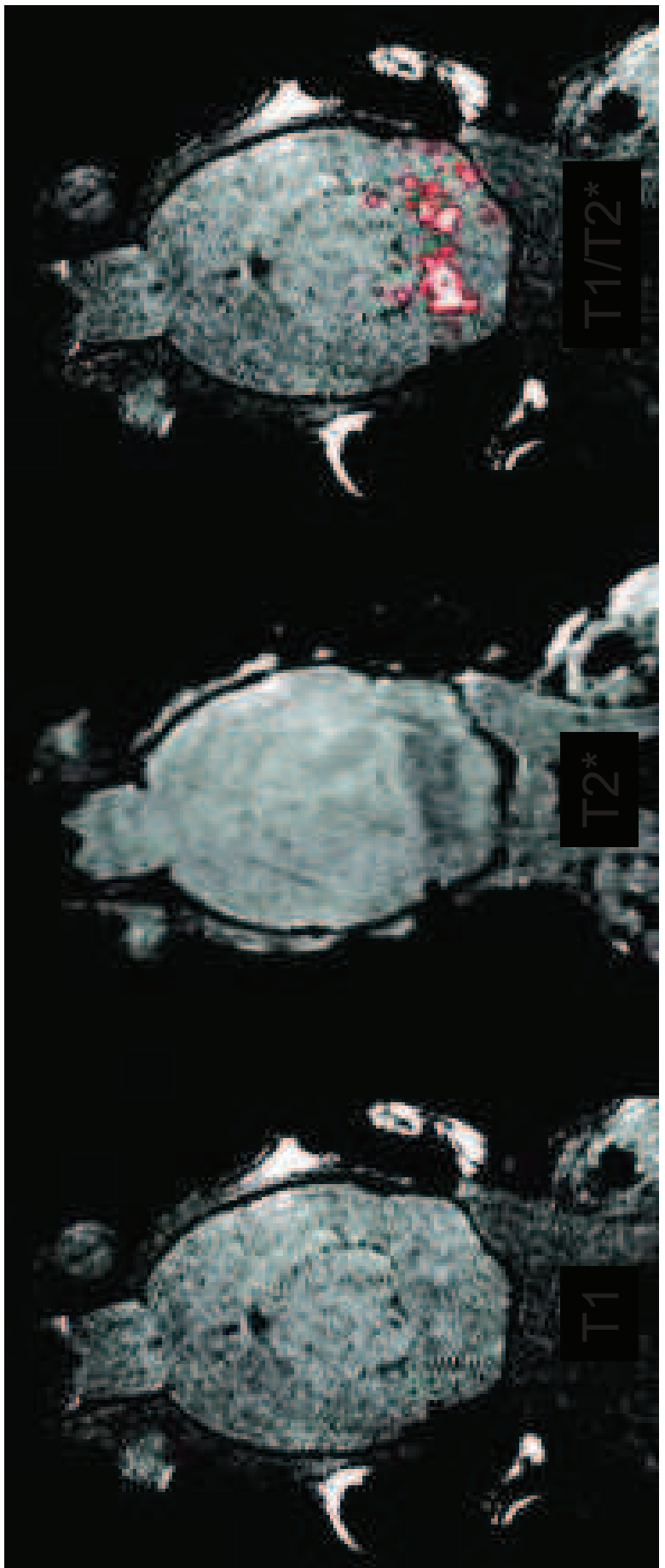


La TDM est négative alors que l' $^{111}\text{In}$ -Octréotide est positif

# Cibler des cellules par une réaction anti-gène-anticorps

**Marquage de lymphocytes T-CD8+ par des USPIO anti-encéphalite murine**

Encéphalite virale murine de Theiler



**Hypersignaux cérébelleux modérés**

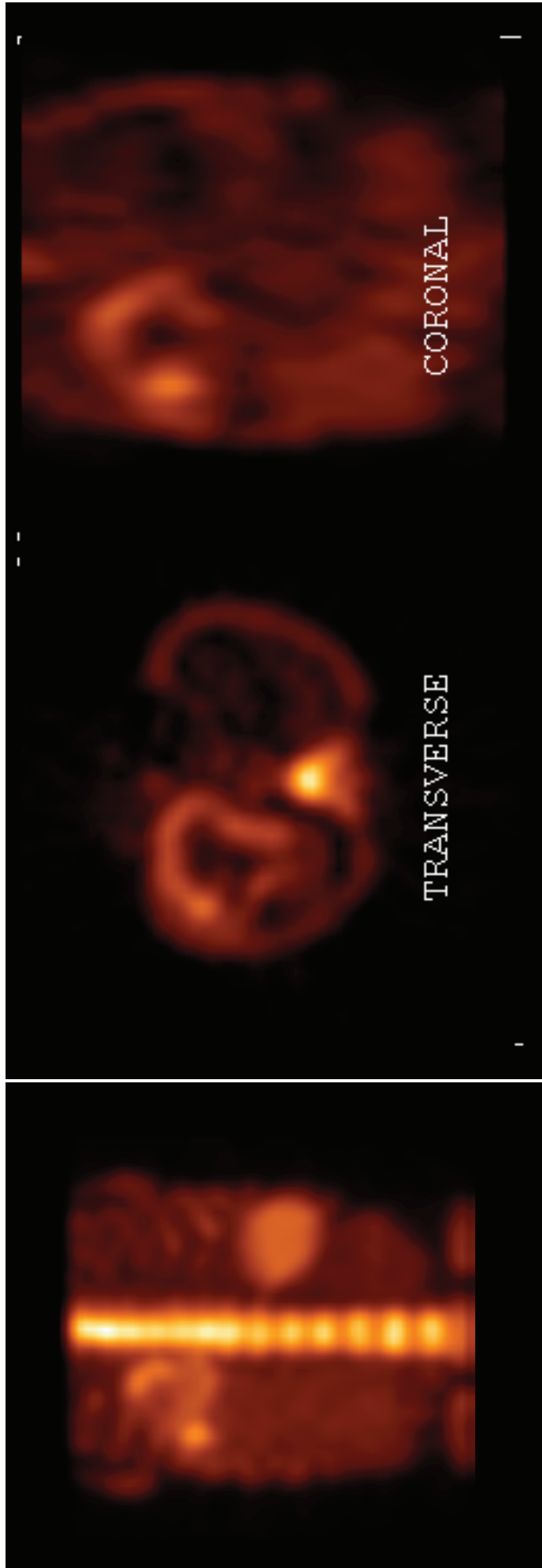
**Nets hyposignaux cérébelleux**

**Territoire riche en lymphocytes T-CD8+**

# Cibler une pathologie par une réaction anti-gène-anticorps

Immuno-scintigraphie au  $^{99m}\text{Tc}$  ou à  $^{111}\text{In}$ -oxine

GB marqués par l'AC antigranulocytes et du  $^{99m}\text{Tc}$ -HMPAO



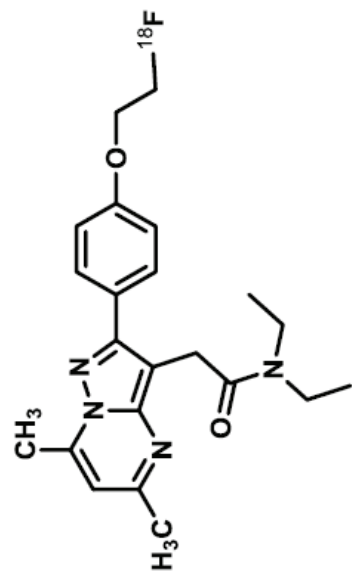
Hepatic abscess in a polycystic liver. SPECT examination with in vivo antigen-antibody reaction. Maximum Intensity Projection (MIP) image, anterior view (a), transversal and coronal planes (b). Increased enrichment in the subdiaphragmatic, large cystic lesion's wall in the enlarged liver. (Normal spleen and bone marrow.)

**L'AVENIR**

# $^{18}\text{F}$ -DPA-714, marqueur d'inflammation

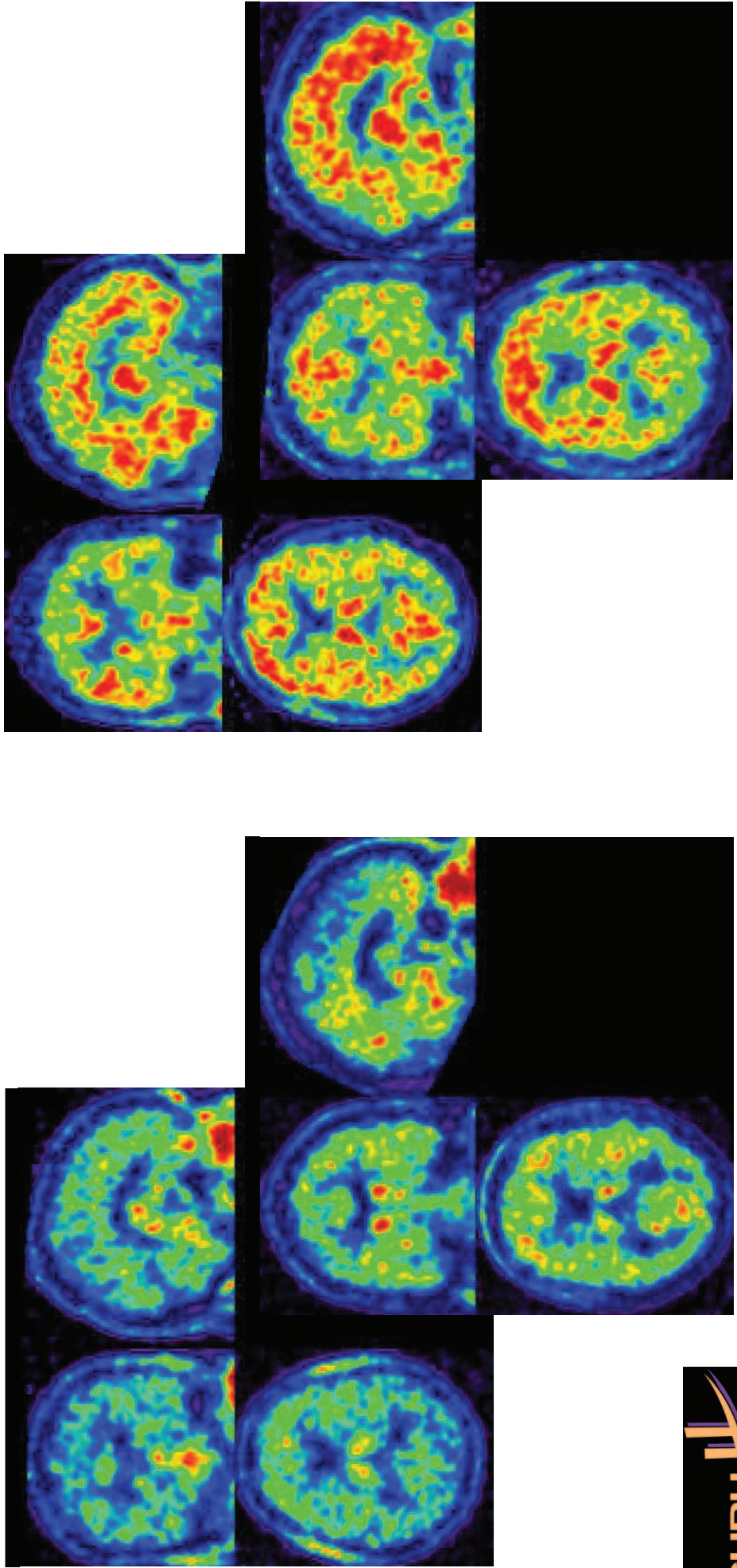
Diagnostique précoce de SLA

Cibles : PBR (TSPO)



Contrôles

SLA

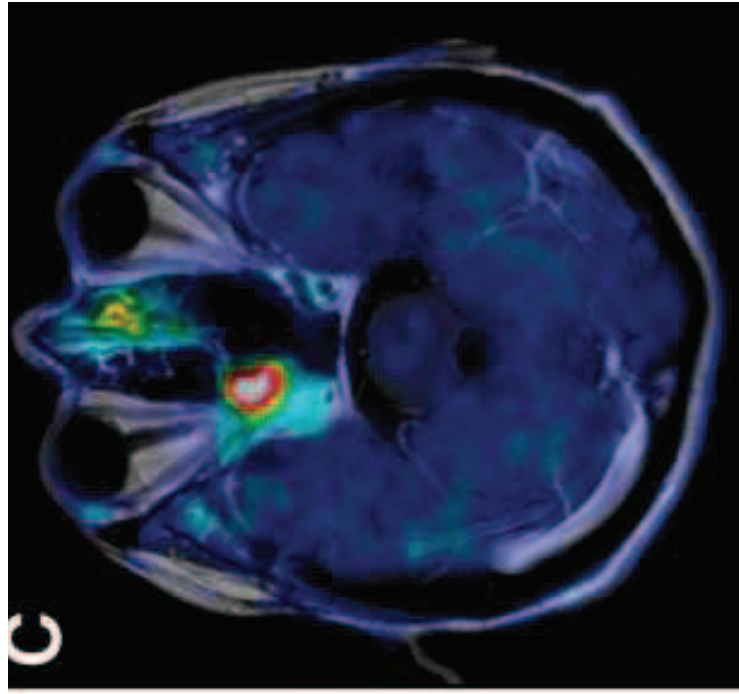
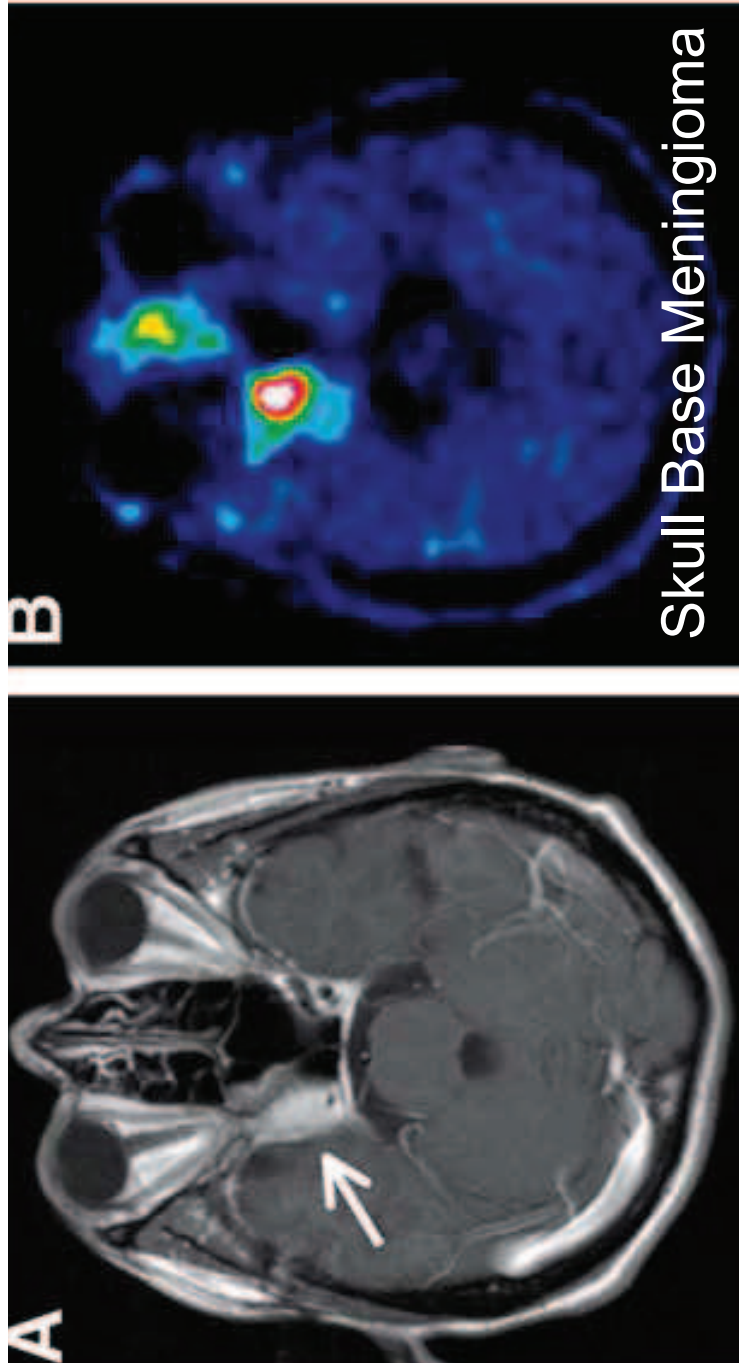


# Ciblage d'une activité métabolique

## $^{18}\text{F}$ -Fluoro- Ethyl Tyrosine

Marqueur du transport des AA et de synthèse protéique

Déetecter et surveiller la prolifération tumorale, stadiiser l'évolution de la tumeur, des lymphomes, des mélanomes, des cancer du poumon et du sein et détecter les métastases d'origines V.



PET / MRI

PET  $^{18}\text{F-TYR}$

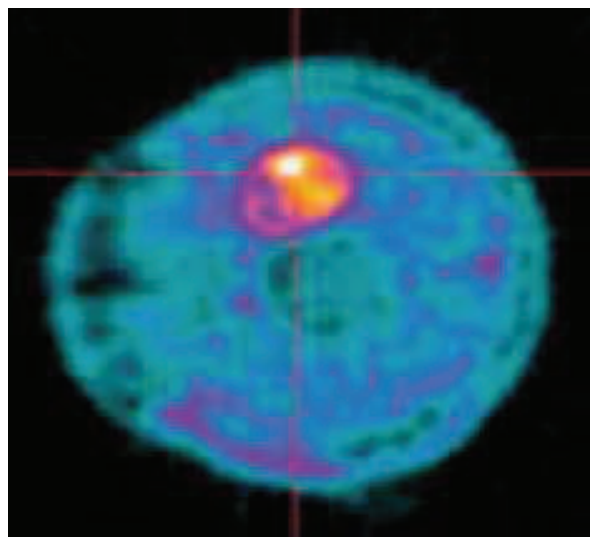
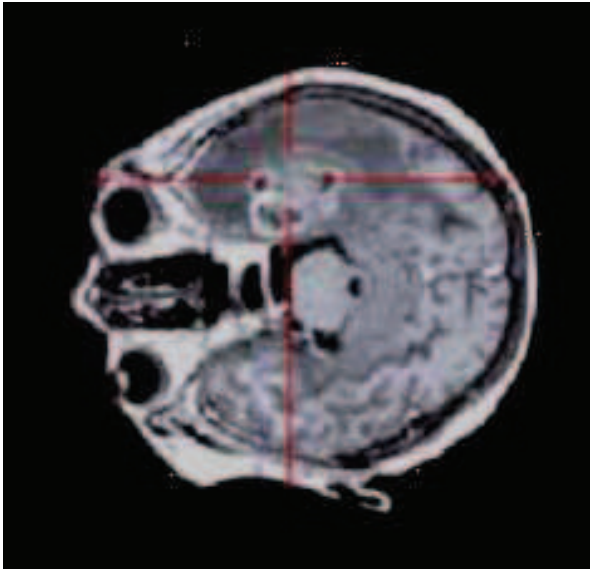
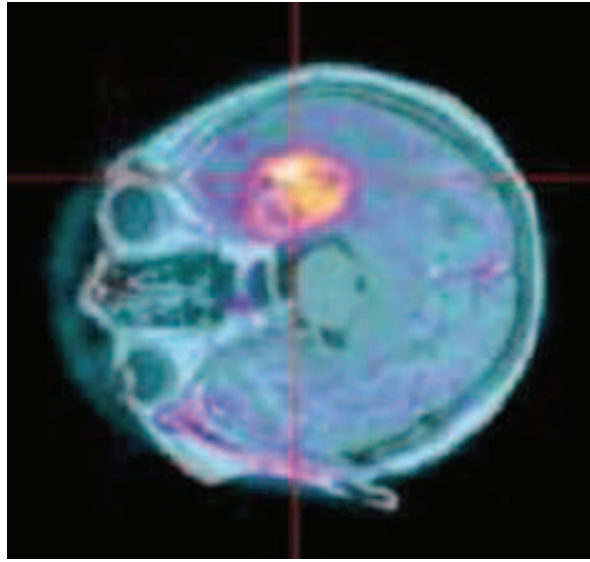
T1w-Gd MRI

# Ciblage d'une activité métabolique

$^{18}\text{F}$ -FET

Marqueur du transporteur des acides aminés

Meilleure affinité que celle du  $[^{18}\text{F}]\text{-FDG}$   
Détection précise des métastases de tumeurs cérébrales  
Identification de lésions cérébrales.



Exemple d'une tumeur cérébrale évaluée en TEP avec un acide aminé fluoré (fluoro-éthyl tyrosine- $^{18}\text{F}$ ) et en IRM (au centre)

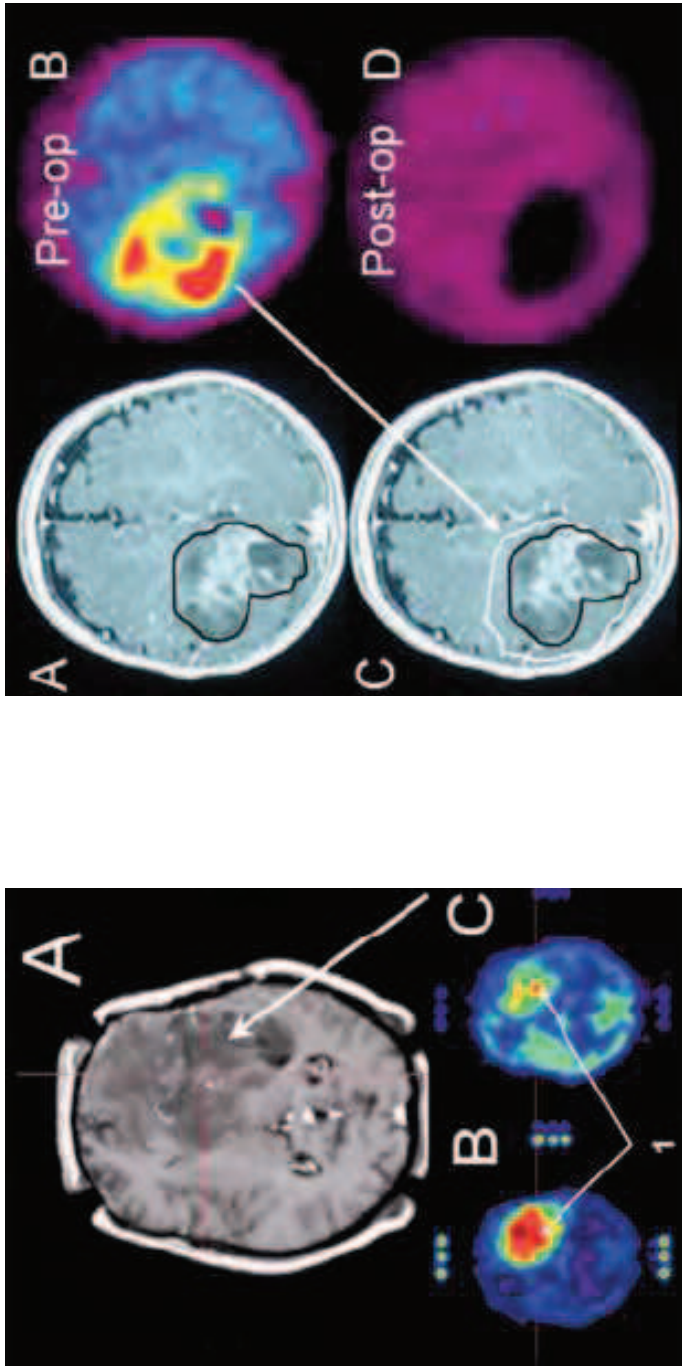
Une fusion des deux types d'imagerie a été réalisée (à droite). Noter la complémentarité des deux examens.

# Ciblage d'une activité métabolique

## Méthionine

Amélioration de la délimitation des tumeurs Cérébrales

Astrocytome anaplasique (grade III de malignité) à gauche Gangliogliome bénin à droite



À gauche, le PET-Méthionine (B) permet de mieux définir les limites tumorales et le PET-FDG (C) permet de mettre en évidence deux foyers hypermétaboliques malins alors que le reste de la tumeur est bénin (grade II).

À droite, le PET-Méthionine (B) améliore la délimitation tumorale, qui projetée sur l'IRM (C) permet d'offrir une résection tumorale complète et une guérison possible du patient (D).

Prof Benoît PIROTE, Service de Neurochirurgie, Chirec,

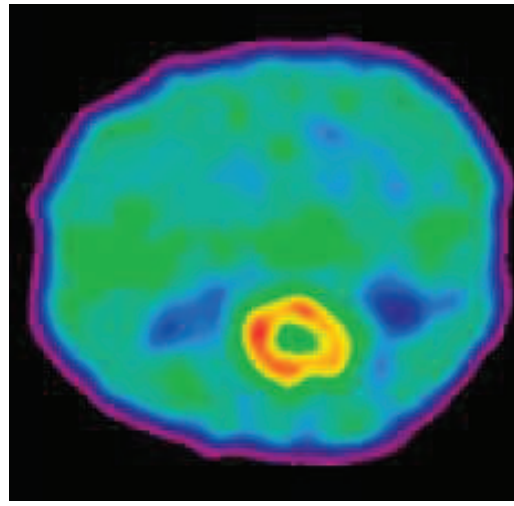
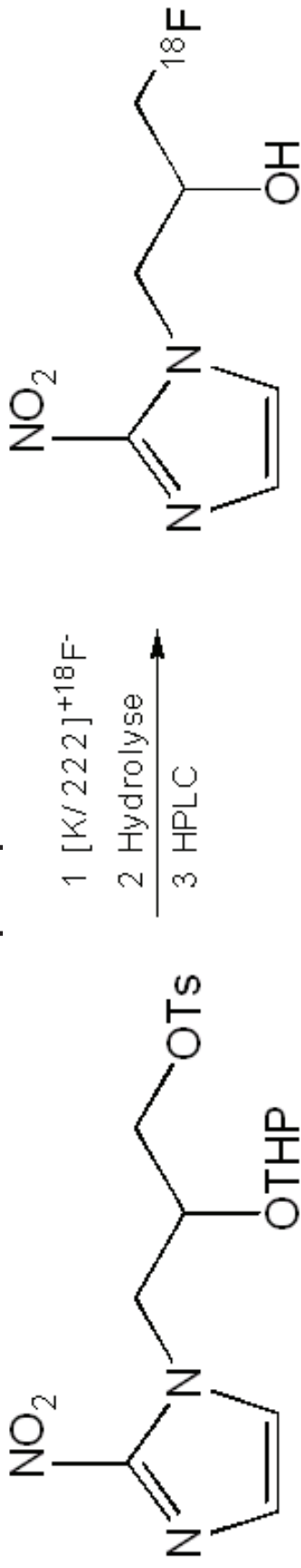
<http://www.drmuller.com/chirec%20cancer%20institute%20newsletter%204%20fr.pdf>

# Ciblage d'une activité métabolique

## [<sup>18</sup>F] MISO

### Imagerie moléculaire de l'hypoxie

Dans les tumeurs cérébrales, l'apport potentiel du [<sup>18</sup>F] miso n'est encore que prometteur



Le [<sup>18</sup>F]-fluoromisonidazole ([<sup>18</sup>F]-miso) possède un potentiel redox élevé avec une forte affinité pour les tissus hypoxiques.

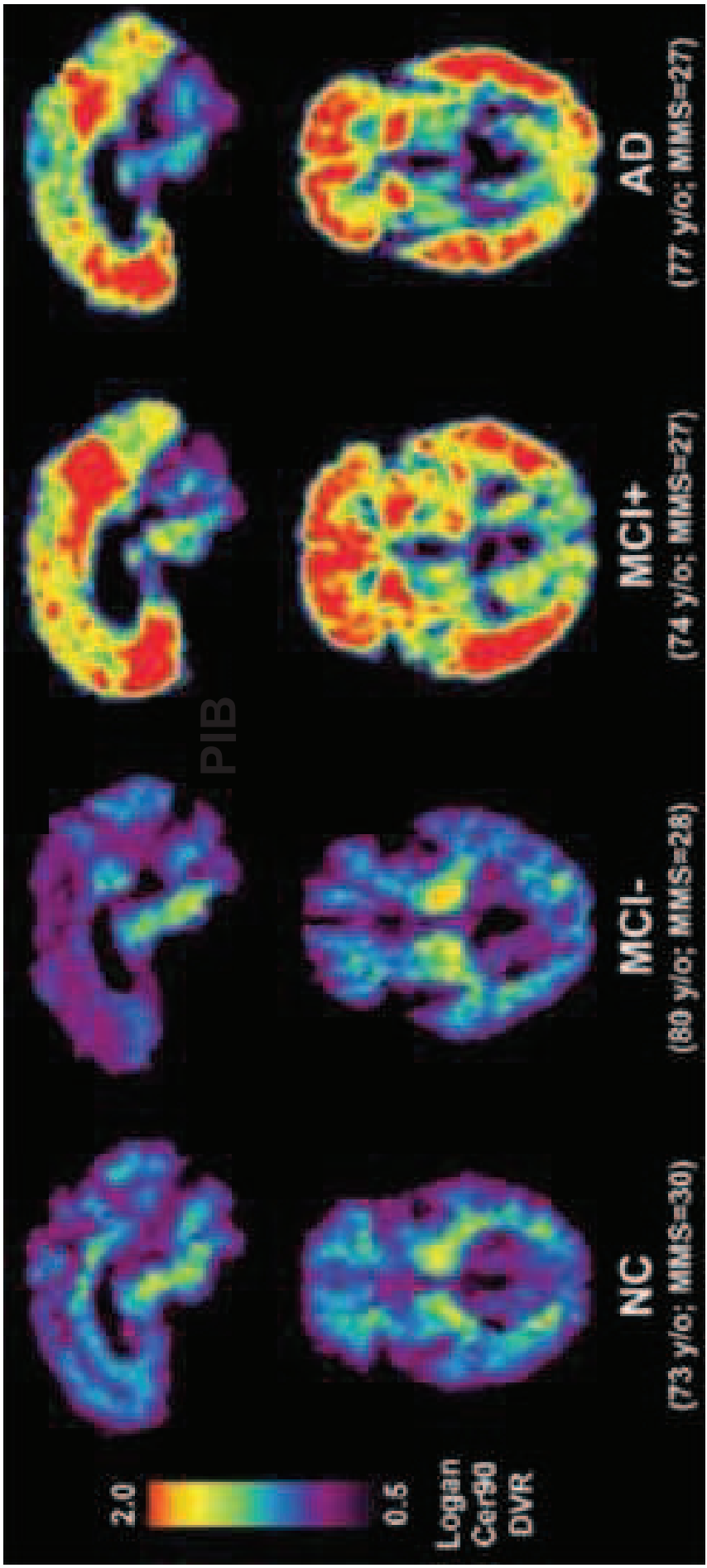
Une forte lipophilie et une captation prolongée rendent possible l'utilisation du [<sup>18</sup>F]-MISO pour étudier les tumeurs cérébrales, sur des images en temps tardif (après 150 minutes)

Glioblastome

Bruehlmeier et al., JNM 2004

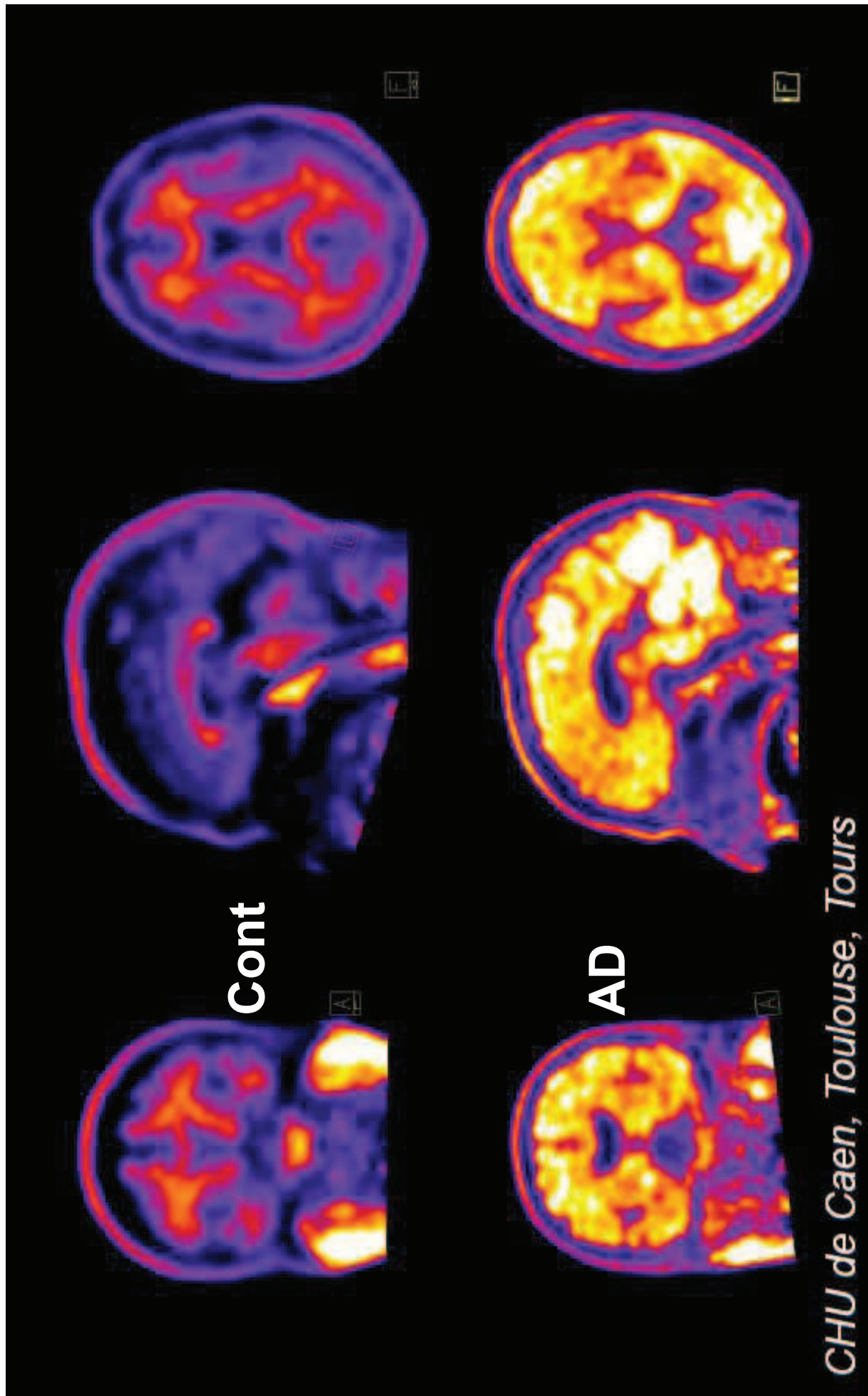
# Ciblage moléculaire de certaines pathologies

Marquage spécifique de la DTA (dépôts A $\beta$ -amyloïdes) par le complexe de Pittsburgh

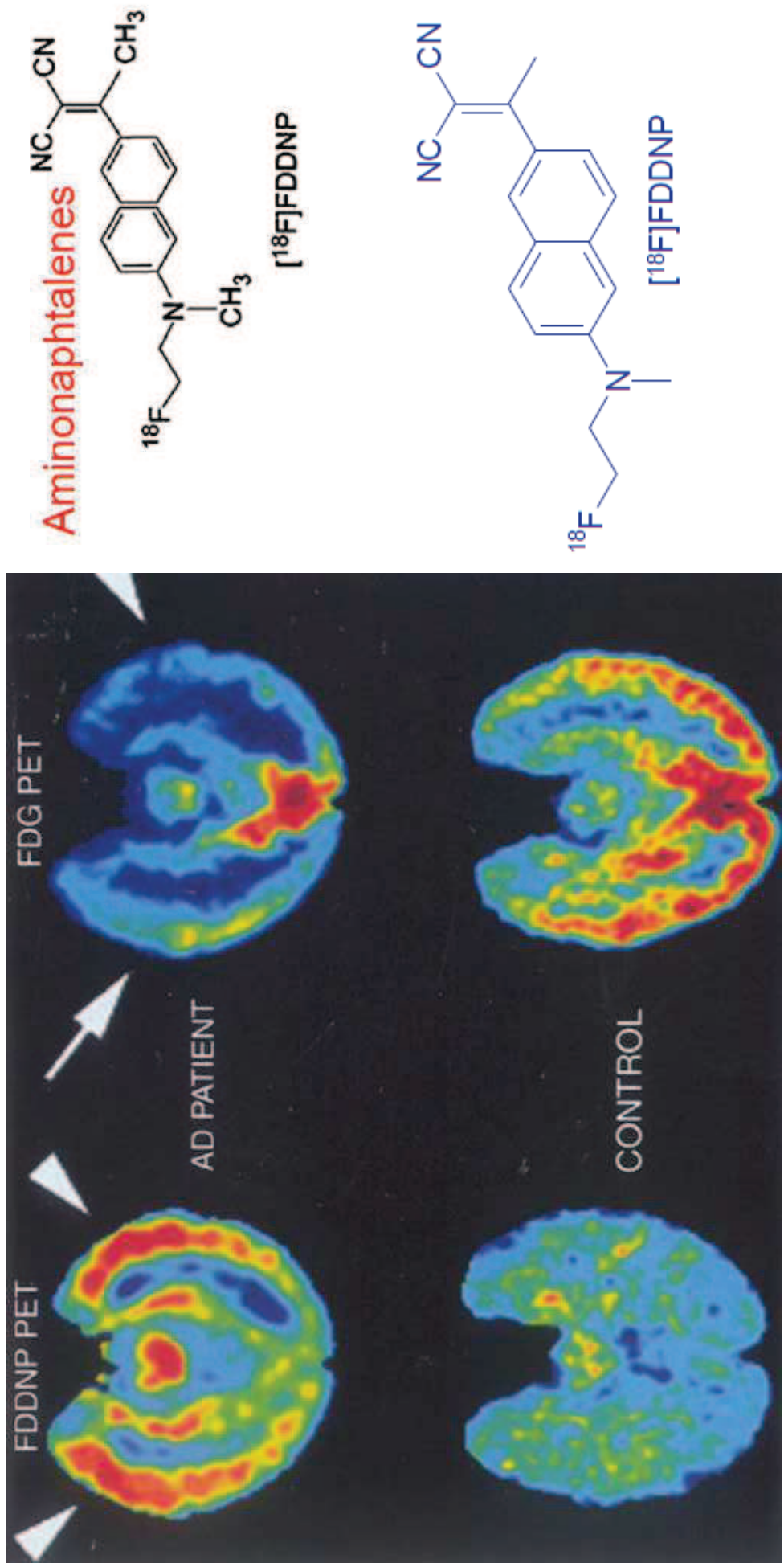


**PET images produced using Pittsburgh Compound-B (PIB)** : From left to right, cognitively normal control (NC), MCI subject with no evidence of amyloid deposition (MCI-), MCI subject with heavy amyloid deposition (MCI+), and mild Alzheimer disease (AD).

L'AV-45 se fixe là où sont (supposées être) les plaques qui caractérisent l'Alzheimer...



# L'imagerie de la plaque amyloïde en TEP [ $^{18}\text{F}$ ]-FDDNP dans la MA

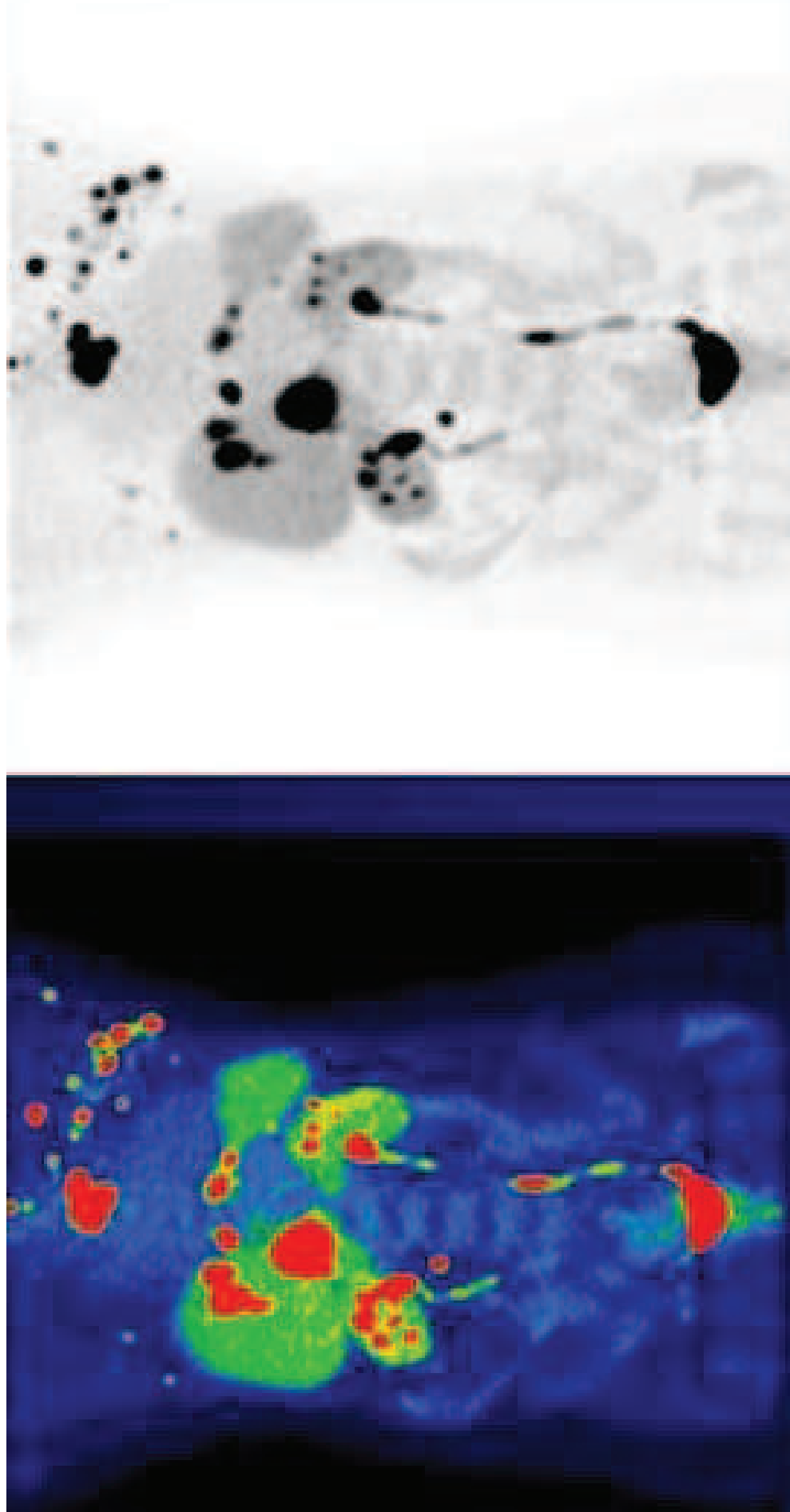


Régions cérébrales hypométaboliques en [ $^{18}\text{F}$ ]-FDG corrélées avec les régions qui présentent une forte rétention du [ $^{18}\text{F}$ ]-FDDNP (régions attendues riches en dépôts neurofibrillaires et amyloïdes) (Shoghi-Jadid 2002)

# Cibler une pathologie par ses récepteurs

**Scintigraphie des récepteurs de la somatostatine :  $^{11}\text{C}$ -5-HTTP (tumeurs neuroendocrines, pancréas, ...)**

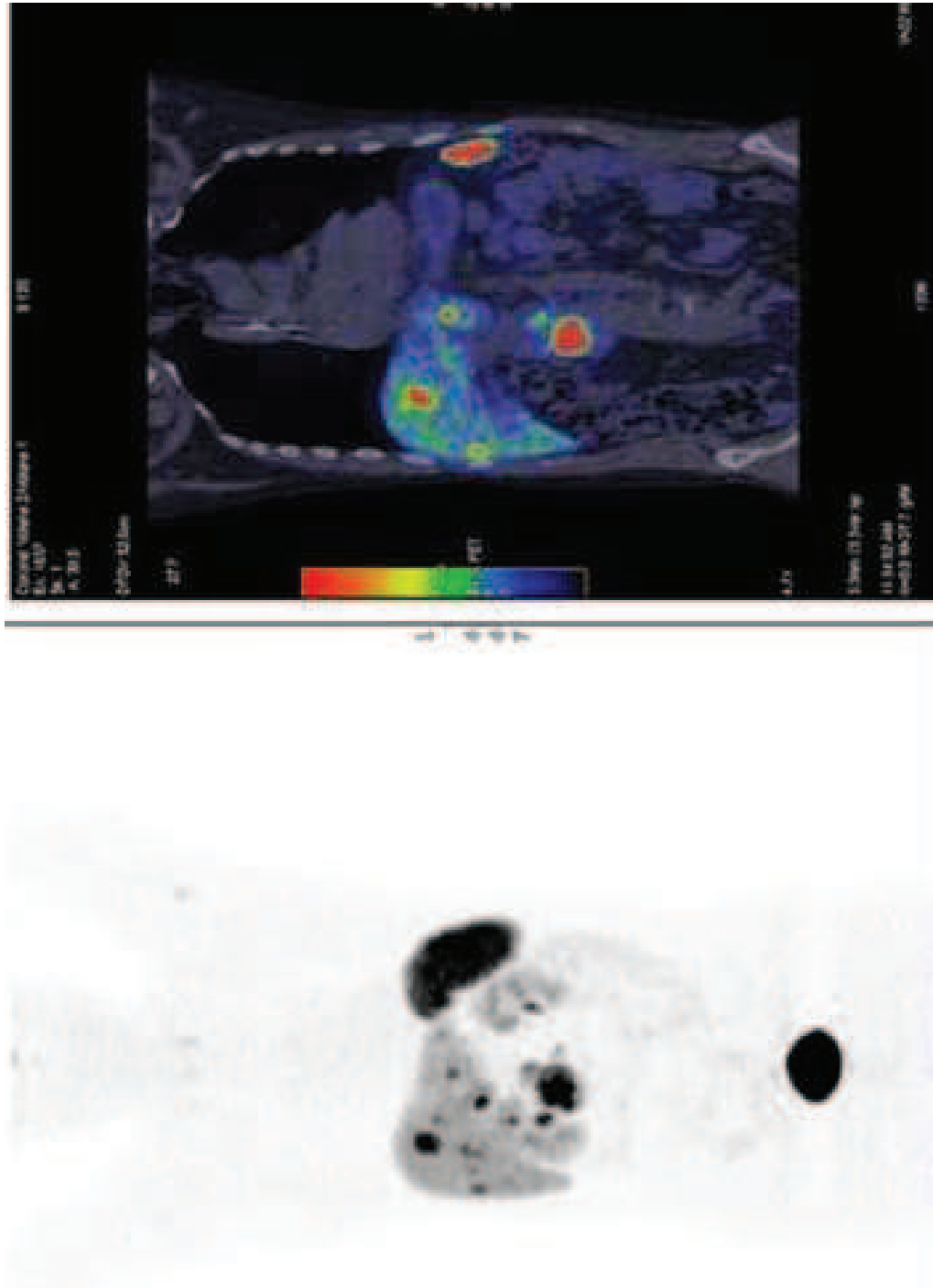
$^{11}\text{C}$ -5-HTP is taken up in serotonin-producing tumors



# Cibler une pathologie par ses récepteurs

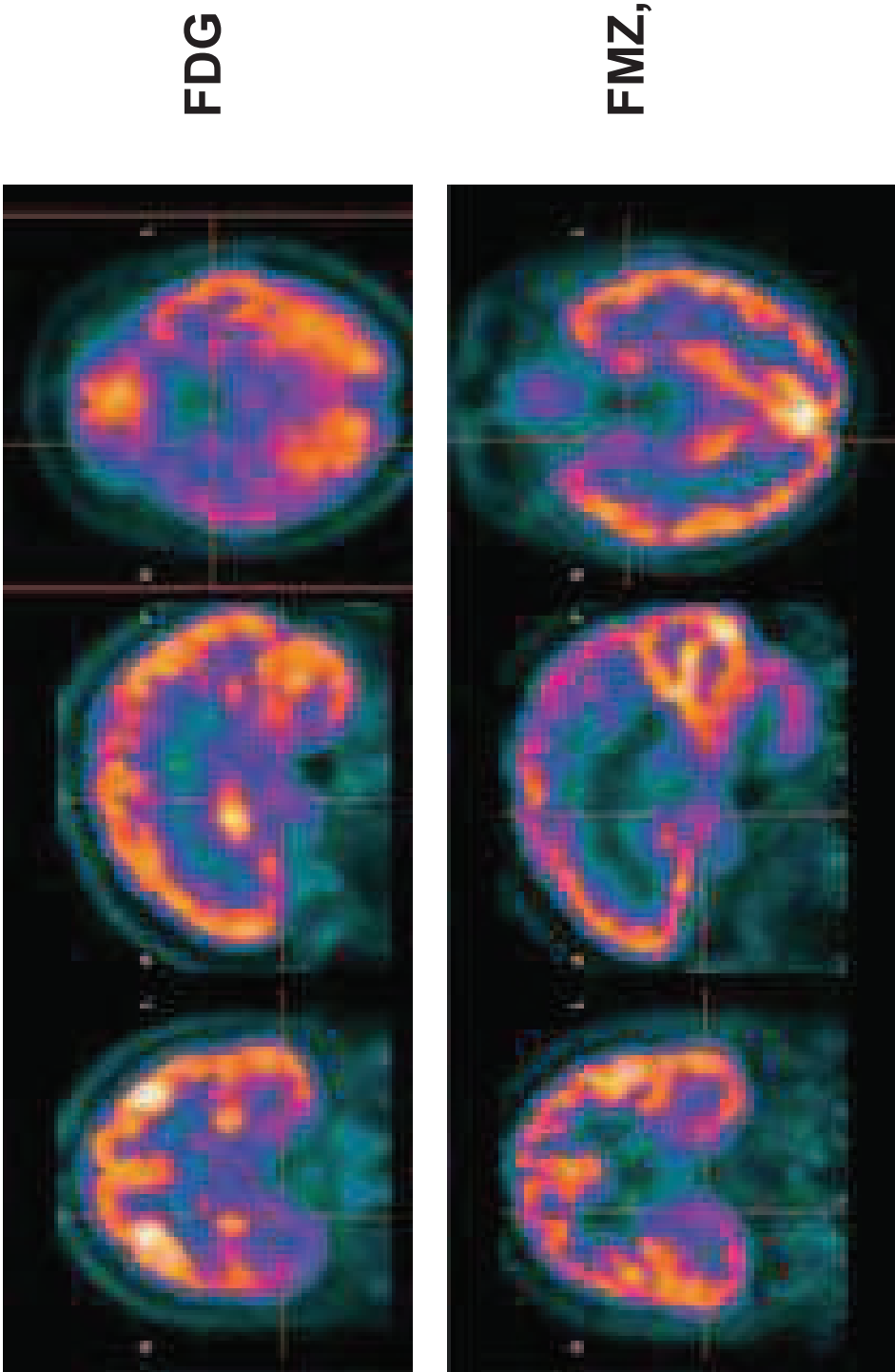
Scintigraphie des récepteurs de la somatostatine :  $^{68}\text{Ga}$ -DOTA-Octéotide (tumeurs neuroendocrines, pancréas, ...)

TEP-TDM avec  $^{68}\text{Ga}$ -DOTA-Octéotide



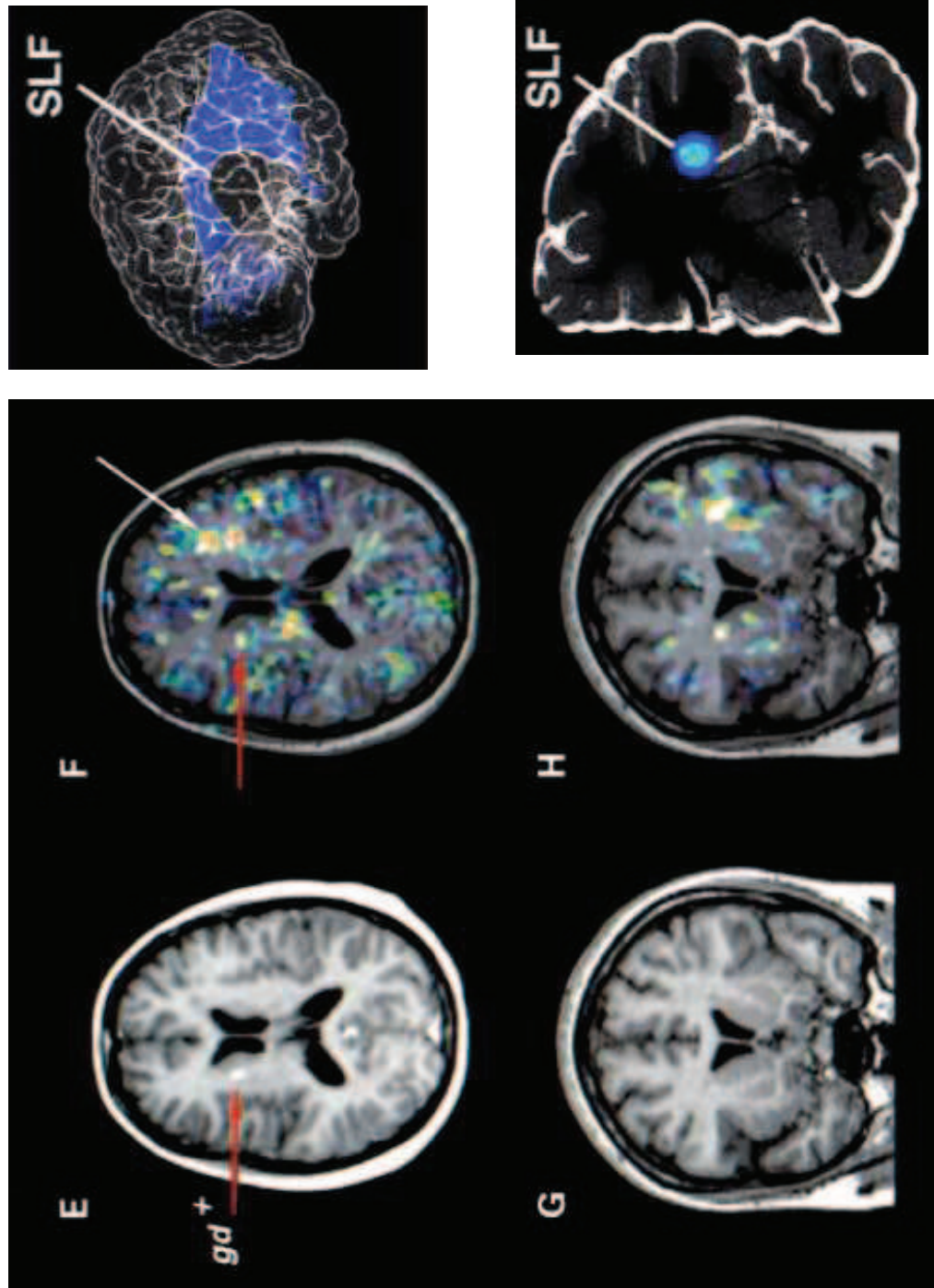
# [ $^{18}\text{F}$ ] Flumazenil (FMZ) binding to central GABA(A) receptors and Epilepsy

There is a deficit of GABA receptors in the epileptic foci of epilepsy patients.  $^{18}\text{F}$ -FMZ PET imaging accurately pinpoints this deficit and therefore localises the foci.



# Brain peripheral benzodiazepine binding site in multiple sclerosis

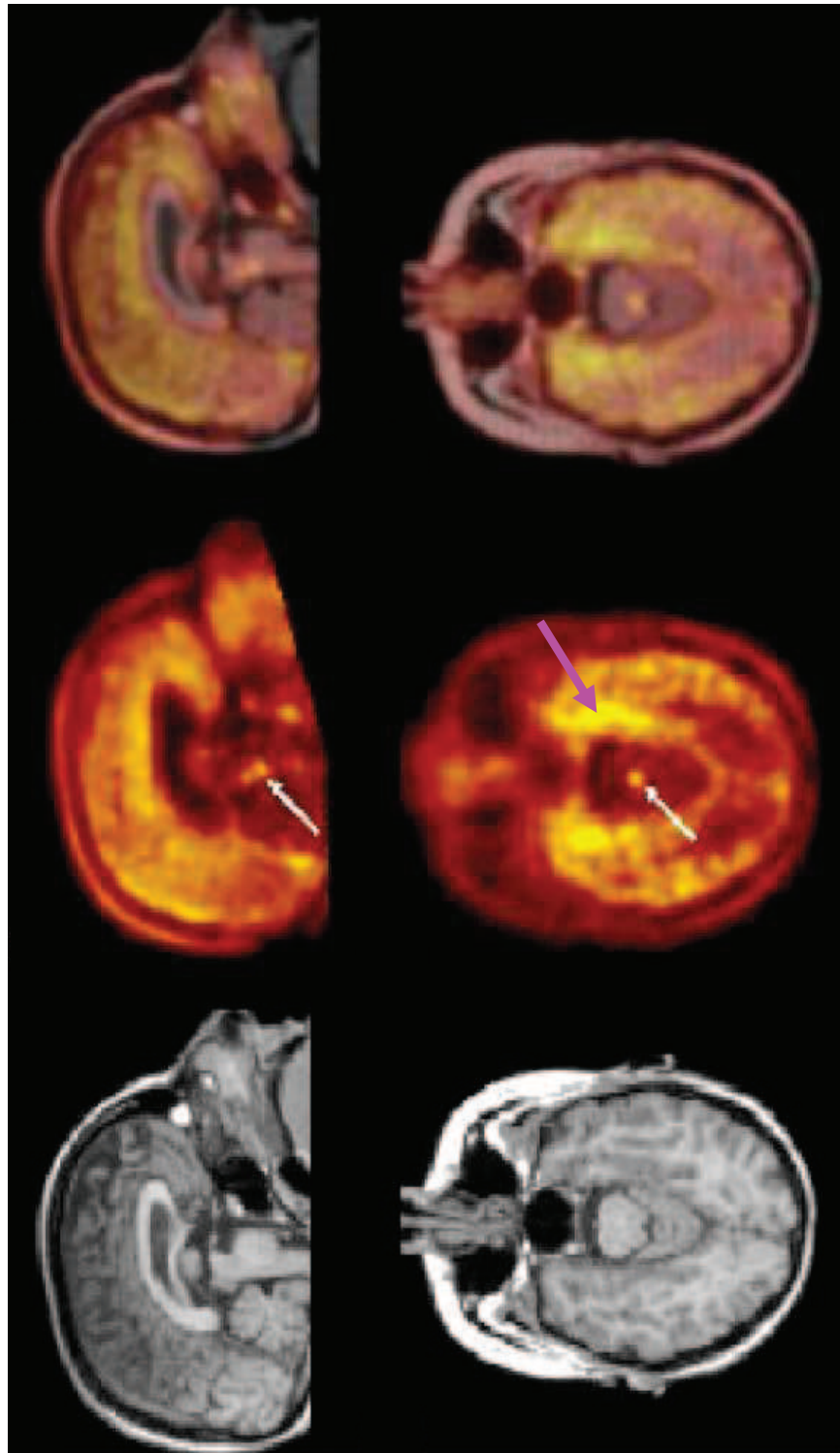
[<sup>11</sup>C](R)-PK11195, marqueur de la (neuro)inflammation)



Patient suffering of transient speech dyspraxia. SLF: Superior longitudinal Fasciculus

# $^{18}\text{F}$ -MPPF et imagerie des récepteurs 5-HT<sub>1A</sub> de la sérotonine

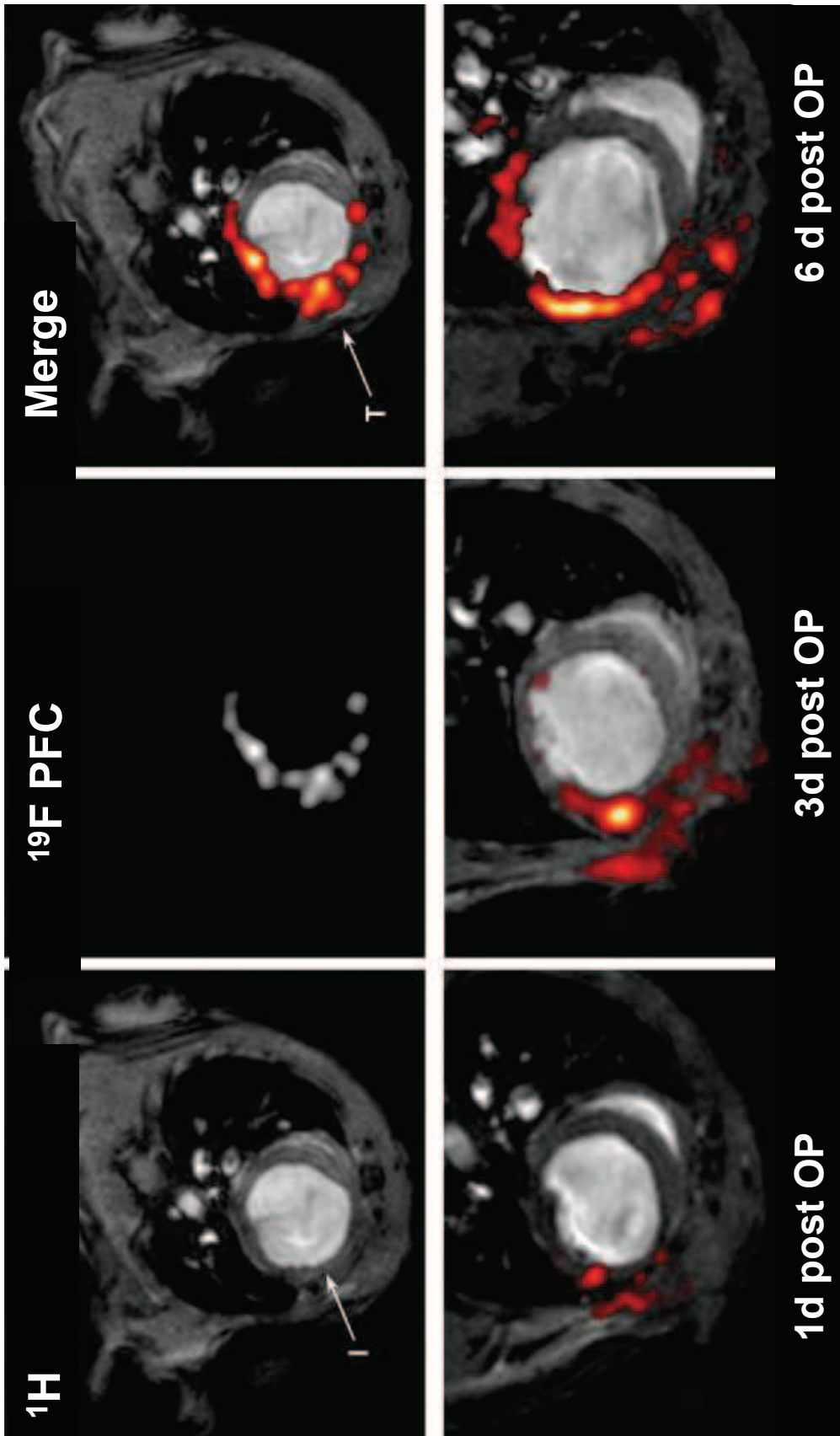
Désordres anxieux et dépression



IRM et TEP au  $[18\text{F}]$ MPPF (plan hippocampique) illustrant la fixation corticale et limbique du  $[18\text{F}]$ MPPF (noyau médian du raphé, hippocampe, amygdale, insula, raphé, gyrus parahippocampique, cortex entorhinal et cingulaire, pôles temporaux)

# IRM du $^{19}\text{F}$ in vivo chez la souris

## Ischémie myocardique post Infarctus

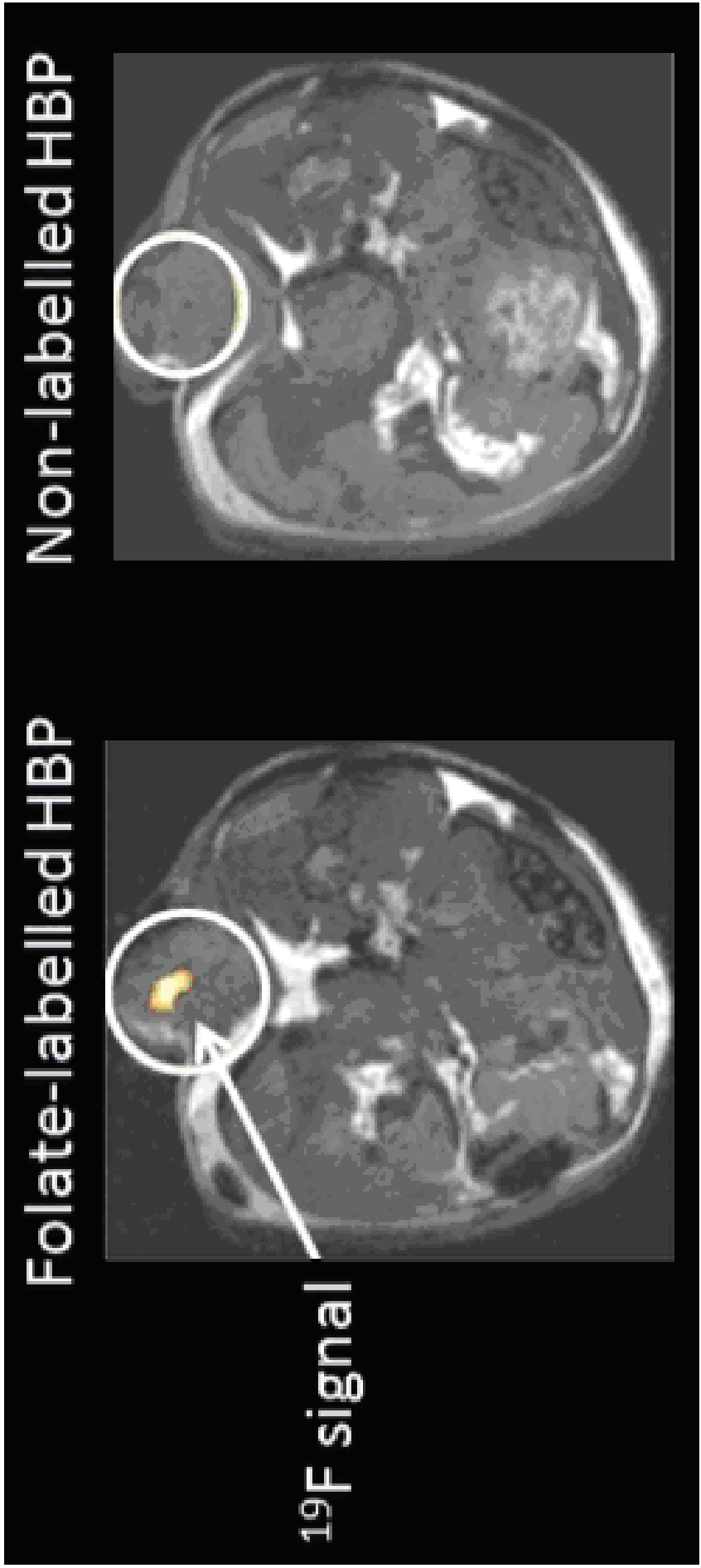


Infiltration of PFCs after myocardial infarction as detected by *in vivo*  $^{19}\text{F}$  MRI from the mouse thorax recorded 4 days after ligation of the LAD. Accumulation of  $^{19}\text{F}$  signal near the infarcted region (I) and at the location of surgery where the thorax was opened (T). PFCs were injected at day 0 (2 hours after infarction)

# Cellular targeting *in vivo* using polymeric <sup>19</sup>F MRI contrast agents

## Hyperbranched polymers ligated with folic acid (~ 3/polymer)

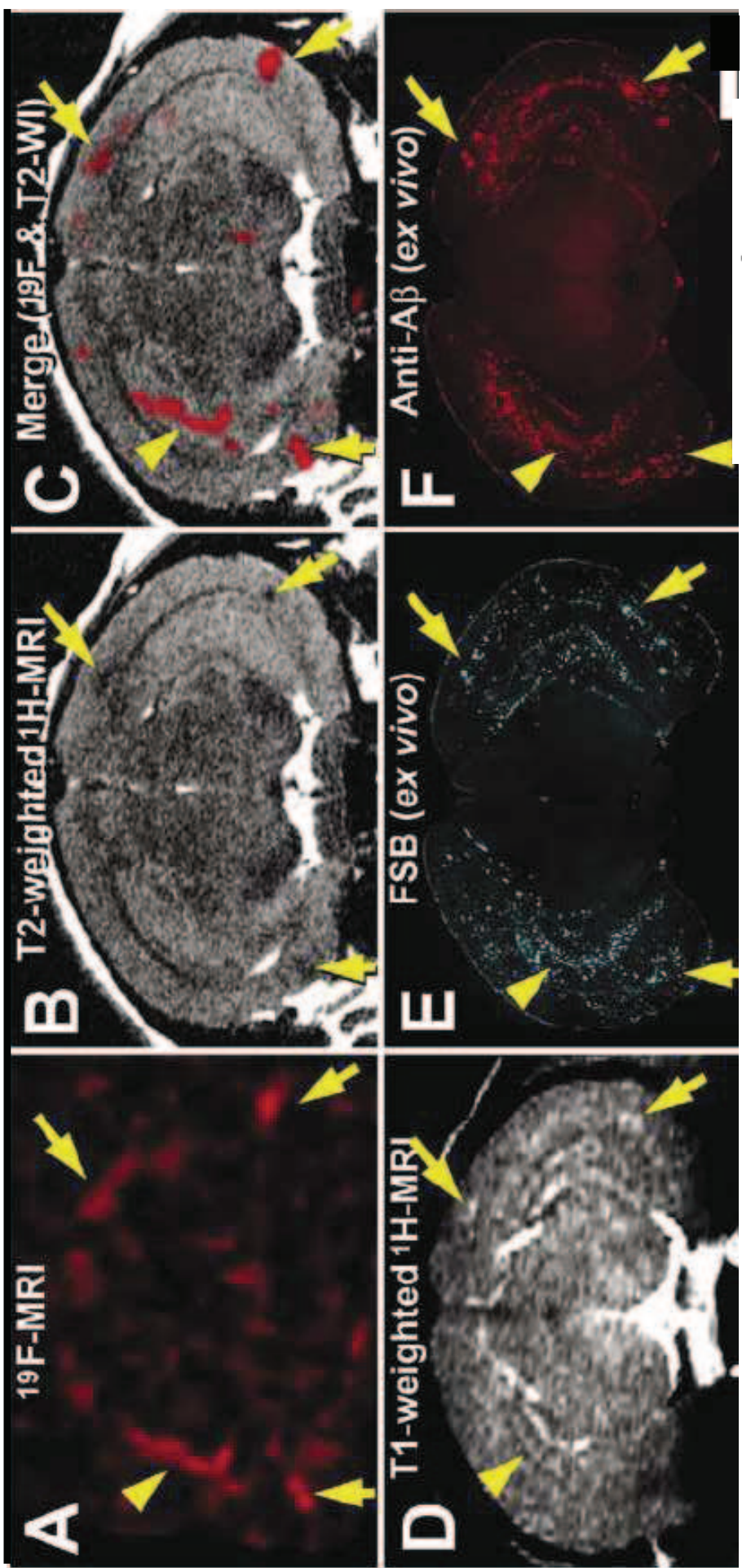
Targeting ability of the molecule tested in an animal model of subcutaneous melanoma tumours in mice (B16 cells)



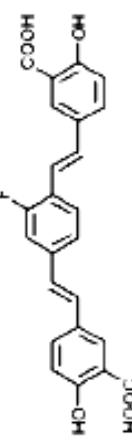
<sup>1</sup>H with overlayed <sup>19</sup>F MRI images (1 hr after injection of hyperbranched polymer) of mouse, 1 week after subcutaneous injection of B16 melanoma cells (tumour region circled).

# FSB Staining of Brain Amyloid using $^{19}\text{F}$ (and $^1\text{H}$ ) MRI

## $\text{A}\beta$ Plaque Imaging in Transgenic Mice



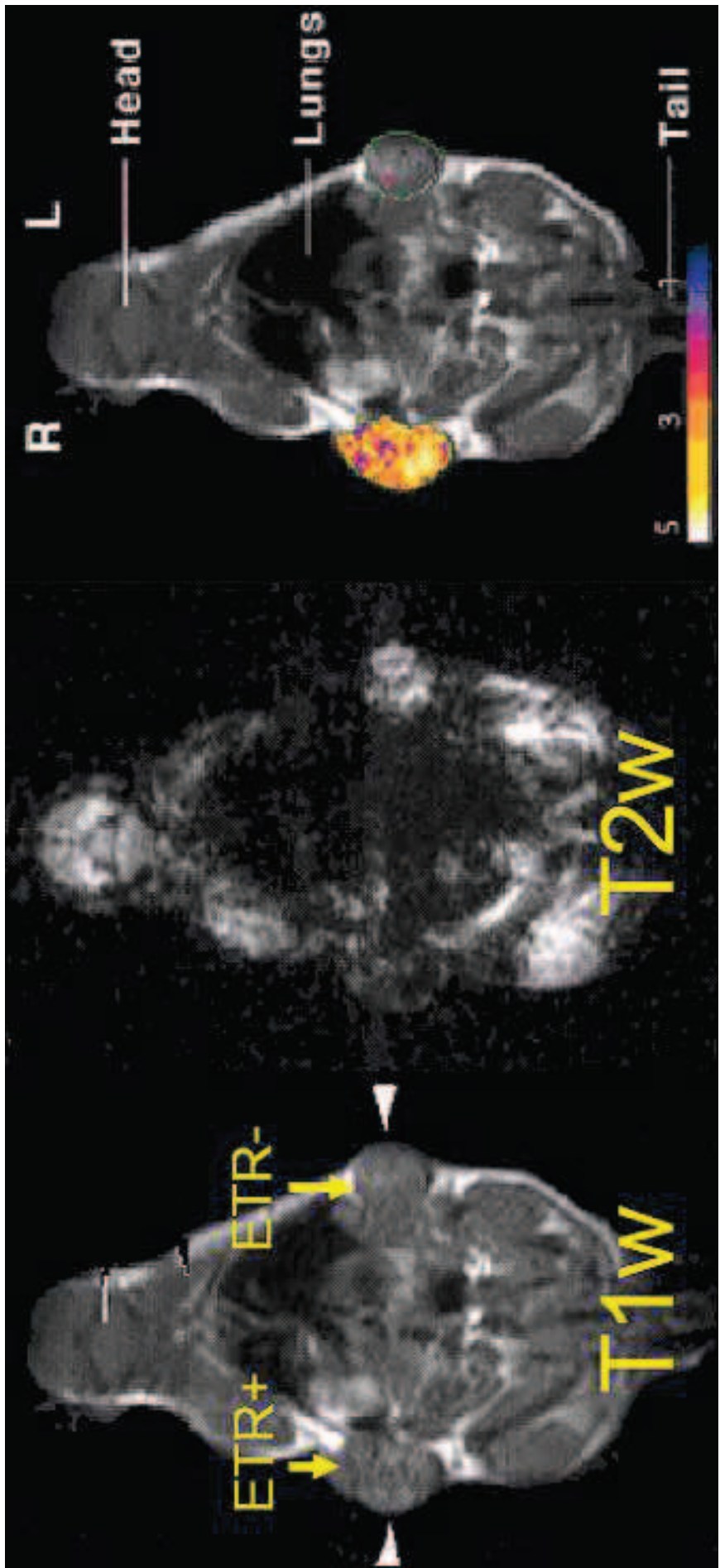
APP transgenic mouse brain after IV injection of FSB



**BRUKER**

# Ciblage moléculaire ou génétique de certaines pathologies

La surexpression (ETR+) de récepteurs de la transferrine (TfR) par un gène modifié (tumeur) multiplie par 5 environ la capture cellulaire de sondes nanoparticulaires couplées à la transferrine (Tf-MION).



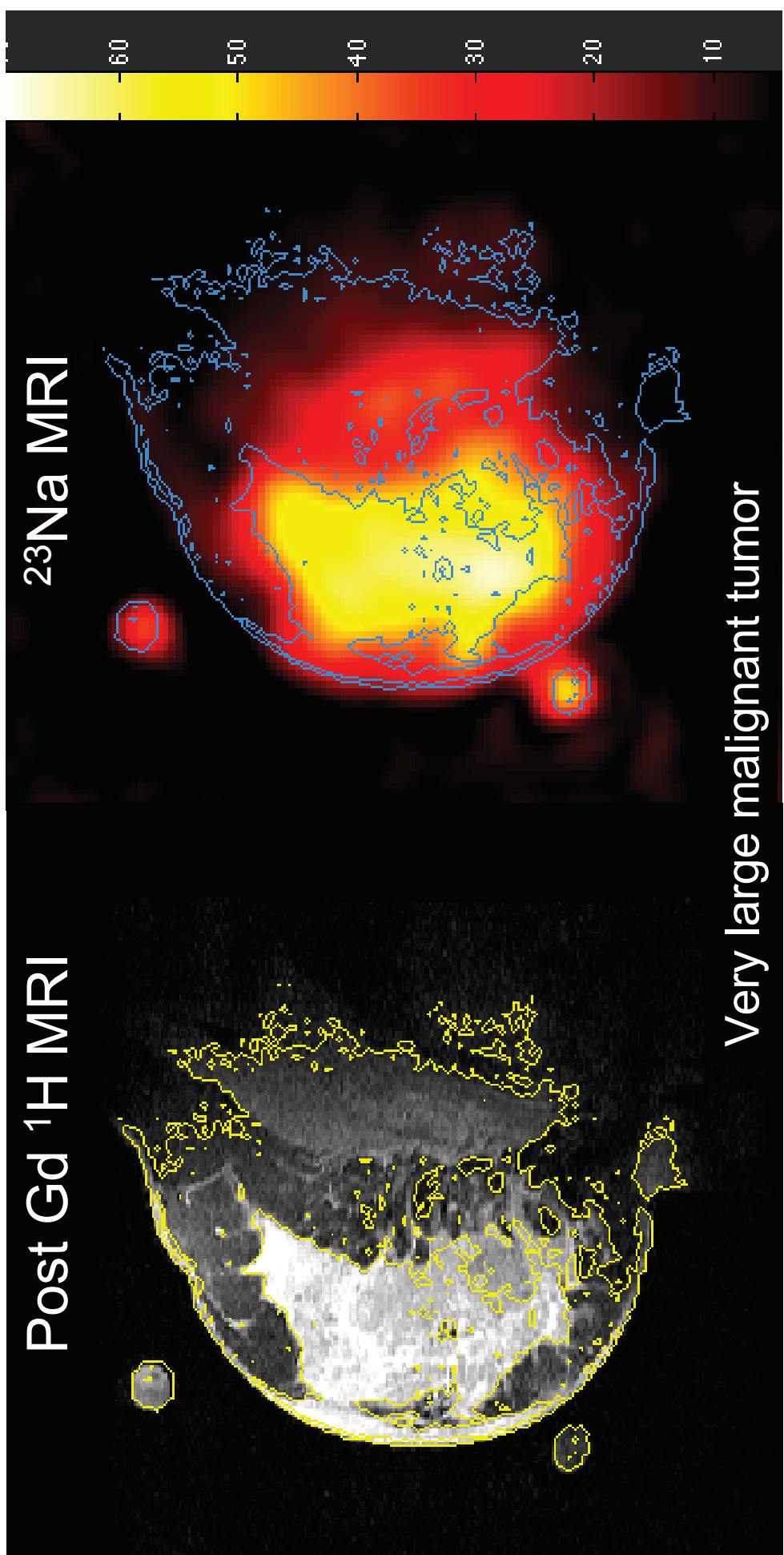
Pas de différence  
entre les 2 tumeurs

Importante perte de signal  
affectant la tumeur ETR+

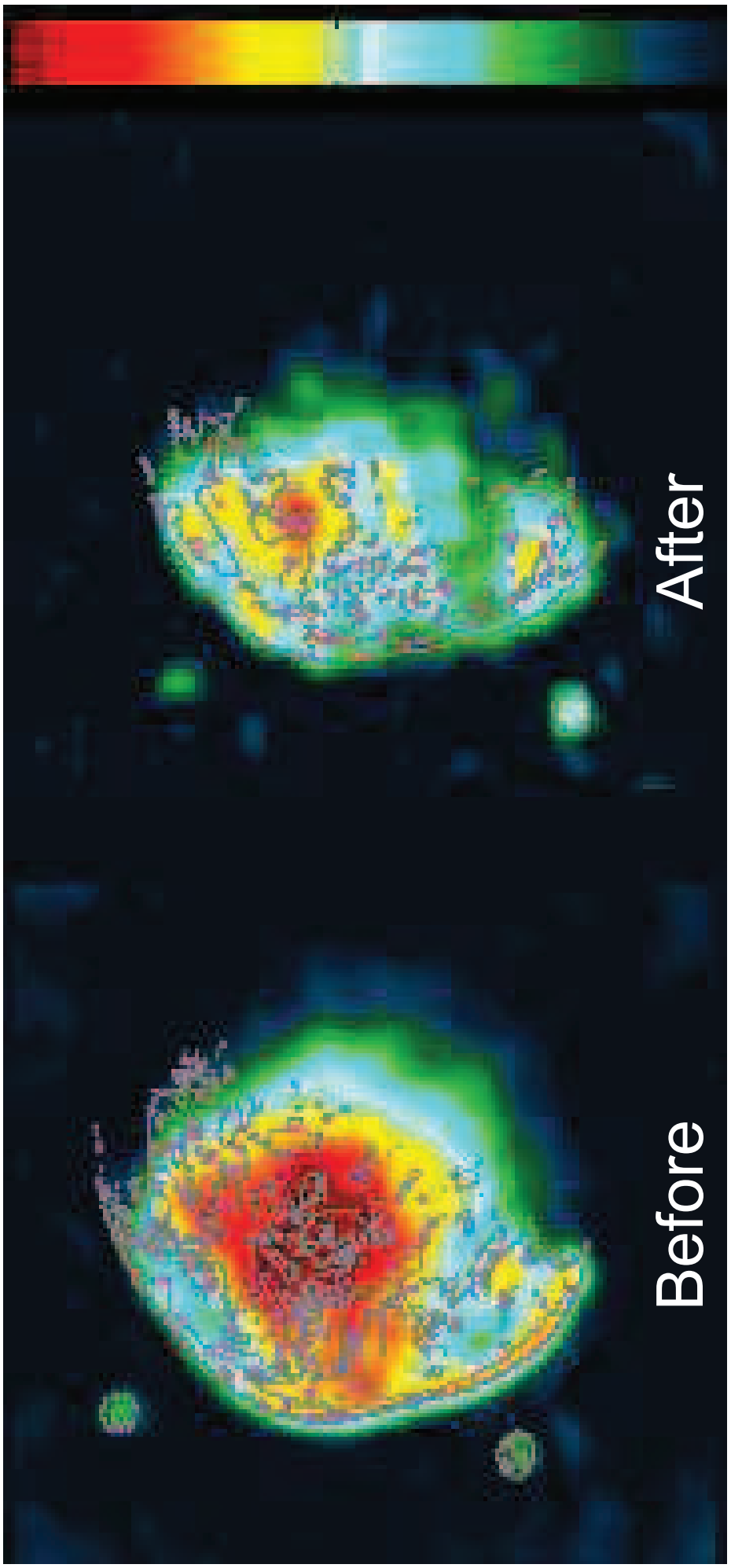
Importante capture de fer  
dans la tumeur droite ETR+

# IRM du $^{23}\text{Na}$ chez l'homme

## Tissue [Na] in Malignant Breast Tumors

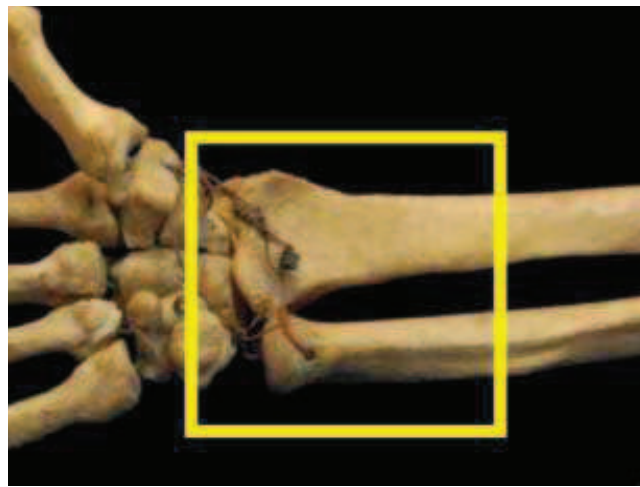
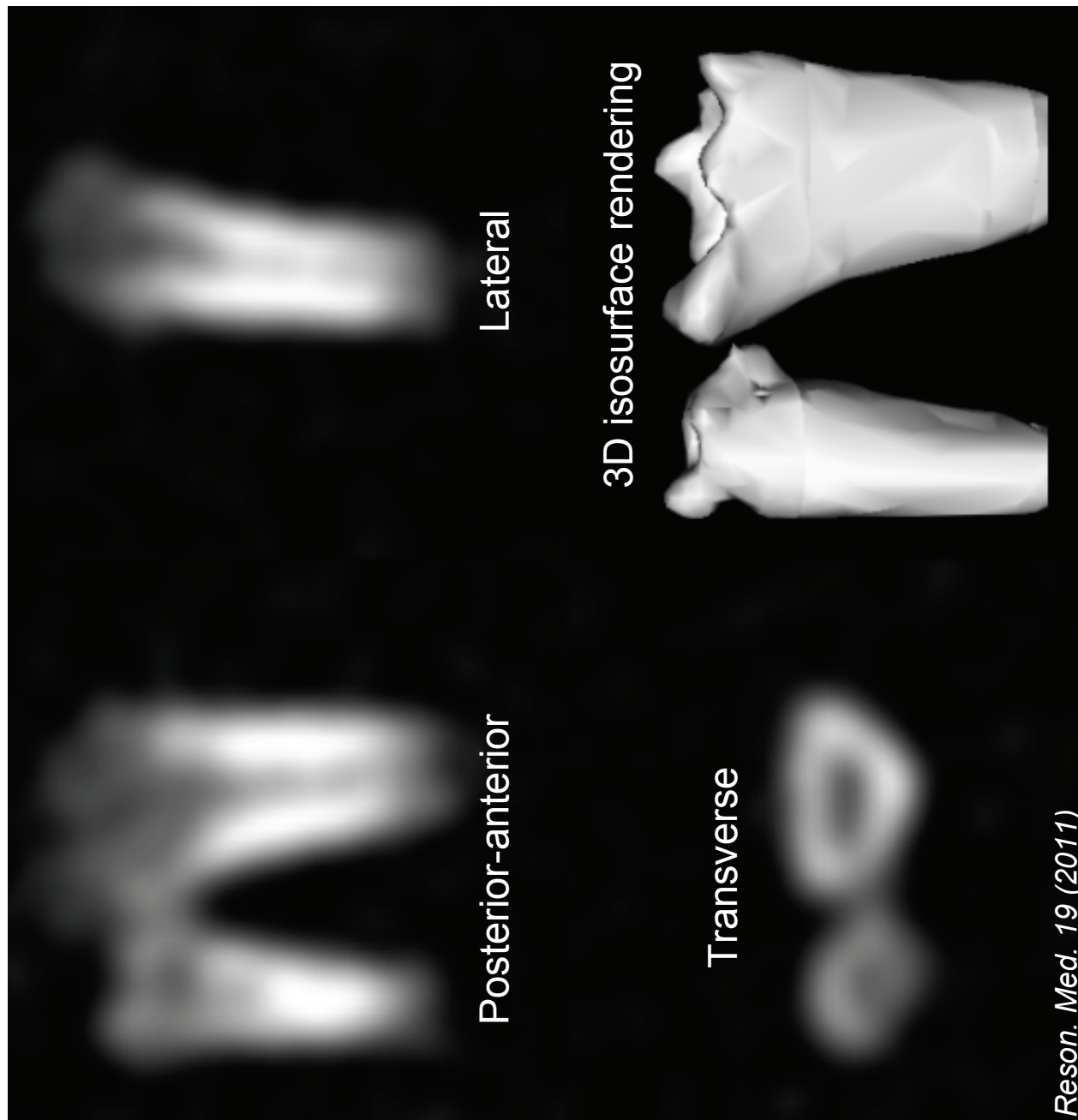


# Application : apprécier l'efficacité d'une chimiothérapie



# $^{31}\text{P}$ Solid State MRI of Human Wrists

Healthy 41 year old male volunteer





The End

Merci de votre attention...